

И Н С Т И Т У Т
ЯДЕРНОЙ ФИЗИКИ СОАН СССР

ПРЕПРИНТ И Я Ф 74 - 104

Б.З.Персов

РАСЧЕТ ДНИЩ ВАКУУМНЫХ ОБЪЕМОВ

Новосибирск

1974

Б.З.Персов

РАСЧЕТ ДНИЩ ВАКУУМНЫХ ОБЪЕМОВ

АННОТАЦИЯ

Рассмотрена задача расчета напряжений и деформаций в круглых и кольцевых днищах вакуумных объемов с учетом реальных жесткостей оболочек, с которыми днище сочленено. Изложена методика расчета и приведены выражения для определения деформаций и напряжений в любом кольцевом сечении днища. С целью сокращения времени при практическом расчете приведены таблицы для определения деформации на внутреннем контуре и напряжений на наружном и внутреннем контурах днища.

Вакуумные объемы различной формы являются типичными элементами многих электрофизических установок. В них, как правило, устанавливается большое количество достаточно сложных устройств, и в большинстве случаев эти устройства монтируются на днищах объема. Естественно, имеет большое значение знание того, насколько сместится "начинка" объема от первоначального положения за счет деформации днища в процессе откачки объема.

Данные, имеющиеся в справочной литературе, позволяют вести расчет днищ лишь при идеальных условиях закрепления краев — жесткой заделке (когда прогиб и угол поворота сечения на краю отсутствуют) и шарнирном закреплении (когда на краю отсутствуют прогиб и изгибающий момент в диаметральном сечении). На практике же днища опираются на какие-то оболочки, имеющие конечные жесткости и влияющие соответствующим образом на поведение днища под нагрузкой. Неправильный учет этого влияния может привести к большим погрешностям при оценке деформаций днища и возникающих в его материале напряжений. Так, для сплошного круглого днища прогиб при шарнирном закреплении контура в четыре раза больше прогиба при жесткой заделке, а максимальные напряжения для этих случаев отличаются в 2,5 раза /1/. Еще сложнее обстоит дело с кольцевыми днищами. Например, для днища с отношением внутреннего диаметра к наружному 0,5 прогибы при шарнирном опирании контуров и при их жесткой заделке отличаются почти в 15 раз /2/.

Приведенные цифры показывают, насколько важно иметь возможность провести расчет днища с правильным учетом реального характера закрепления контуров. Настоящая работа и посвящена расчету круглых и кольцевых днищ вакуумных объемов с учетом реального закрепления контуров.

О б о з н а ч е н и я

- 2а — наружный диаметр днища и диаметр наружной оболочки объема, см;
- 2в — внутренний диаметр днища и диаметр внутренней оболочки объема, см;
- l_1 и l_2 — длины наружной и внутренней оболочек, см;

h, h_1, h_2	- толщина днища и толщины наружной и внутренней оболочек, см;
E, E_1, E_2	- модули упругости материалов днища, наружной и внутренней оболочек, кг/см ² ;
ν, ν_1, ν_2	- коэффициенты Пуассона материалов днища, наружной и внутренней оболочек;
$D = \frac{E h^3}{12(1-\nu^2)}$	- цилиндрическая жесткость днища;
$D_1 = \frac{E_1 h_1^3}{12(1-\nu_1^2)}$	- цилиндрическая жесткость наружной оболочки;
$D_2 = \frac{E_2 h_2^3}{12(1-\nu_2^2)}$	- цилиндрическая жесткость внутренней оболочки;
$\beta_1 = \frac{\sqrt{3(1-\nu_1^2)}}{\sqrt{\alpha \cdot h_1}}$	- параметр наружной оболочки;
$\beta_2 = \frac{\sqrt{3(1-\nu_2^2)}}{\sqrt{\beta \cdot h_2}}$	- параметр внутренней оболочки;
$\gamma = \frac{b}{a}$	- безразмерный параметр днища;
$\rho = \frac{z}{a}$	- текущий безразмерный радиус днища;
$\infty_1 = \frac{(h_1)^3}{\sqrt{\alpha} \cdot h_1}$	- опорный параметр наружного контура днища;
$\infty_2 = \frac{(h_2)^3}{\sqrt{\beta} \cdot h_2}$	- опорный параметр внутреннего контура днища;
$w(\rho)$	- прогиб днища на радиусе $\rho = \frac{z}{a}$ в направлении, перпендикулярном недеформированной срединной поверхности, см;
$vv(\gamma)$	- наибольший прогиб днища (при $\rho = \gamma$), см;

$M_z(\rho)$	- равномерно распределенный по окружности изгибающий момент в диаметральном сечении днища на радиусе $\rho = \frac{z}{a}$, кгсм/см;
$M_z(\gamma), M_z(1)$	- то же при $\rho = \gamma$ и при $\rho = 1$;
$M_\theta(\rho)$	- равномерно распределенный по окружности изгибающий момент в тангенциальном сечении днища на радиусе $\rho = \frac{z}{a}$, кгсм/см;
$M_\theta(\gamma), M_\theta(1)$	- то же при $\rho = \gamma$ и при $\rho = 1$;
$\sigma_z(\rho) = \frac{6M_z(\rho)}{h^2}$	- напряжение изгиба в диаметральном сечении днища на радиусе $\rho = \frac{z}{a}$, кг/см ² ;
$\sigma_z(\gamma) = \frac{6M_z(\gamma)}{h^2}, \sigma_z(1) = \frac{6M_z(1)}{h^2}$	- то же при $\rho = \gamma$ и при $\rho = 1$;
$\sigma_\theta(\rho) = \frac{6M_\theta(\rho)}{h^2}$	- напряжение изгиба в тангенциальном сечении днища на радиусе $\rho = \frac{z}{a}$, кг/см ² ;
$\sigma_\theta(\gamma) = \frac{6M_\theta(\gamma)}{h^2}, \sigma_\theta(1) = \frac{6M_\theta(1)}{h^2}$	- то же при $\rho = \gamma$ и при $\rho = 1$;

Постановка задачи

В общем случае расчетная схема круглого цилиндрического вакуумного объема с кольцевым дном имеет вид, изображенный на рис. I. Днище представляет собой пластину постоянной толщины h с наружным диаметром $2a$ и внутренним $2b$, опирающуюся наружным контуром на оболочку с толщиной стенки h_1 , а внутренним - на оболочку с толщиной стенки h_2 . Вся конструкция находится под действием равномерно распределенного внешнего давления Q . Задачей расчета является определение деформаций пластины и возникающих в ней напряжений при заданных параметрах.

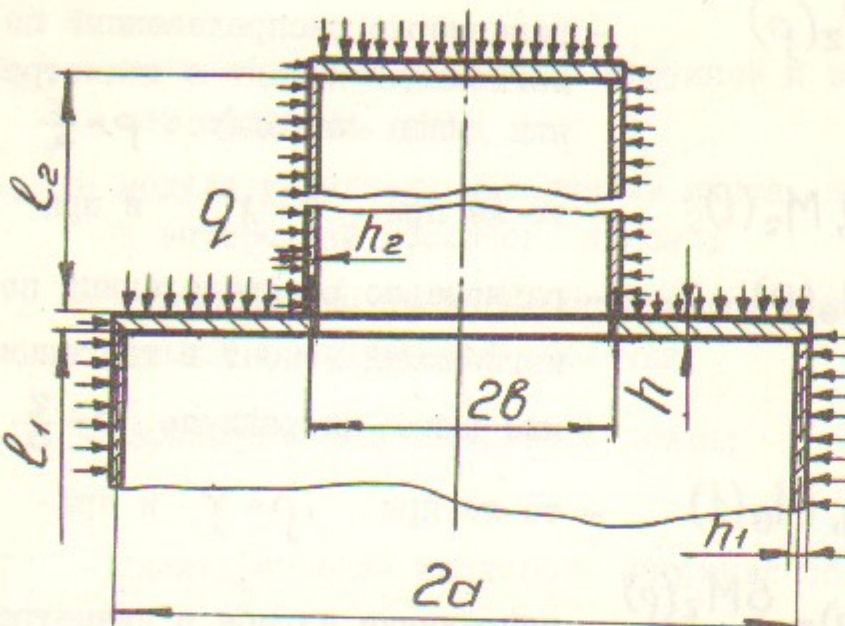


Рис. I

рах конструкции или определение толщины пластины h , необходимой для обеспечения требуемой прочности и жесткости конструкции.

Расчет проводится при следующих предположениях:

- днище представляет собой тонкую пластинку /3/, т.е. выполняется условие

$$a \geq 5h$$

- прогибы днища являются малыми /3,4/, при которых допустимо пренебречь напряжениями растяжения и сжатия в средней поверхности днища, т.е. выполняется соотношение

$$w(\gamma) \leq \frac{h}{5}$$

- оболочки, скрепленные с контурами днища, являются тонкостенными /3/, у которых

$$a \geq 5h_1$$

$$b \geq 5h_2$$

- обе оболочки являются длинными /3/, т.е. для каждой из них справедливо соотношение

$$\beta_i l_i \geq 3$$

В этом случае напряженное состояние оболочки в месте соединения с рассматриваемым днищем не зависит от условий закрепления на втором торце оболочки. Следует отметить, что в большинстве случаев реальные оболочки вакуумных объемов являются именно длинными оболочками. Так, стальная оболочка диаметром 60 см с толщиной стенки 1 см оказывается длинной уже при длине в 12+13 см;

д) в процессе деформирования в местах соединения пластины с оболочками не происходит раскрытиястыка, т.е. в месте соединения обе детали конструкции имеют одинаковые угловые деформации.

Расчет реакций в сочленениях

Для расчета напряжений и деформаций днища необходимо знать все действующие на него силовые факторы, в том числе реакции со стороны соседних элементов конструкции.

Разъединив элементы конструкции в местах соединения их друг с другом и заменив действия соседних элементов реактивными усилиями H_a и H_b и моментами M_a и M_b , получим схему, изображенную на рис.2. Неизвестные реакции в местах соединения деталей могут быть найдены из решения системы уравнений:

$$\left. \begin{aligned} Q_b \cdot 2\pi b - \pi b^2 \cdot q &= 0 \\ Q_a \cdot 2\pi a - \pi a^2 \cdot q &= 0 \\ U_{pl}(a) - U_{os1} &= 0 \\ U_{pl}(b) - U_{os2} &= 0 \\ V_{pl}(a) - V_{os1} &= 0 \\ V_{pl}(b) - V_{os2} &= 0 \end{aligned} \right\} \quad (I)$$

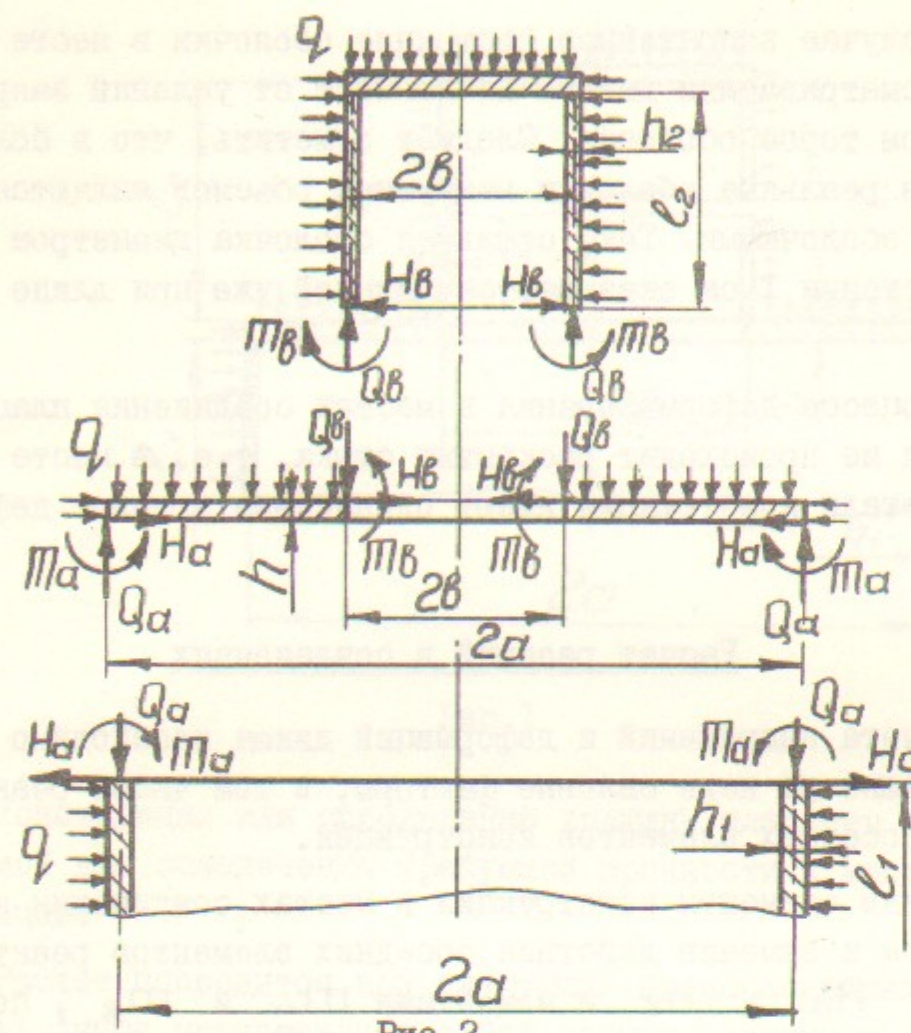


Рис.2

В уравнениях системы (I):

Q_a и Q_B – реактивные силы в местах соединения пластины с оболочками, перпендикулярные к недеформированной срединной поверхности пластины;

$U_{nl}(a)$, $U_{nl}(b)$ – радиальные перемещения наружного и внутреннего контуров пластины;

U_{ob1} , U_{ob2} – радиальные перемещения краев наружной и внутренней оболочек;

$v_{nl}(a)$, $v_{nl}(b)$ – угловые перемещения на наружном и внутреннем контурах пластины в ее диаметральном сечении;

v_{ob1} , v_{ob2} – угловые перемещения краев наружной и внутренней оболочек в их диаметральных сечениях.

Решение системы (I) достаточно громоздко и, кроме того, приводит к весьма сложным и неудобным в использовании выражениям для реакций в местах соединения пластины с оболочками. Эта трудность может быть преодолена, если пренебречь действием равномерно распределенного внешнего давления на оболочки и рассматривать только его действие на пластину и верхнее дно внутренней оболочки (рис.3).

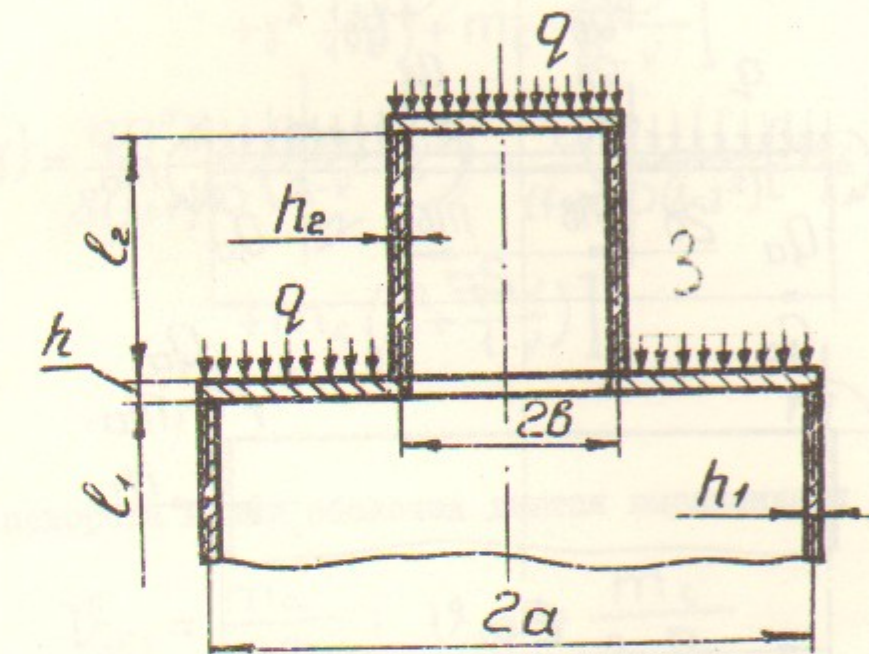


Рис.3

Погрешность, вносимая при этом в результаты расчета деформаций и напряжений пластины, не превышает 5-7%, а расчетная схема (рис.4), система уравнений (2) и, что главное, окончательные выражения для реактивных силовых факторов становятся существенно проще.

$$\left. \begin{array}{l} Q_B \cdot 2\pi b - \pi b^2 \cdot q = 0 \\ Q_a \cdot 2\pi a - \pi a^2 \cdot q = 0 \\ U_{nl}(a) - U_{ob1} = 0 \\ U_{nl}(b) - U_{ob2} = 0 \end{array} \right\} \quad (2)$$

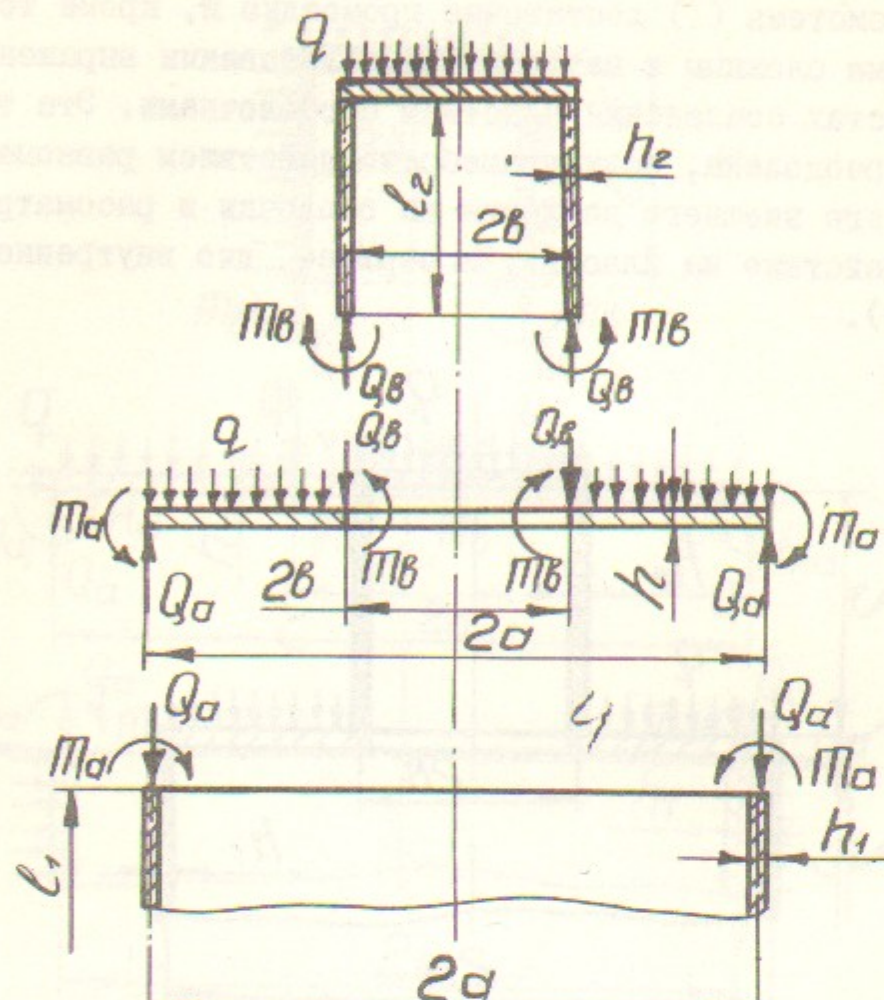


Рис. 4

Первые два уравнения системы (2) дают значения опорных реакций

$$Q_a = \frac{q\alpha}{2}, \quad Q_b = \frac{q\beta}{2} = \frac{q\alpha\gamma}{2} \quad (3)$$

вторая пара позволяет найти реактивные моменты m_a и m_b .

Рассматривая отдельно элементарные нагрузки на пластину, загруженную по схеме рис.5, — q , Q_b , m_a и m_b — и ис-

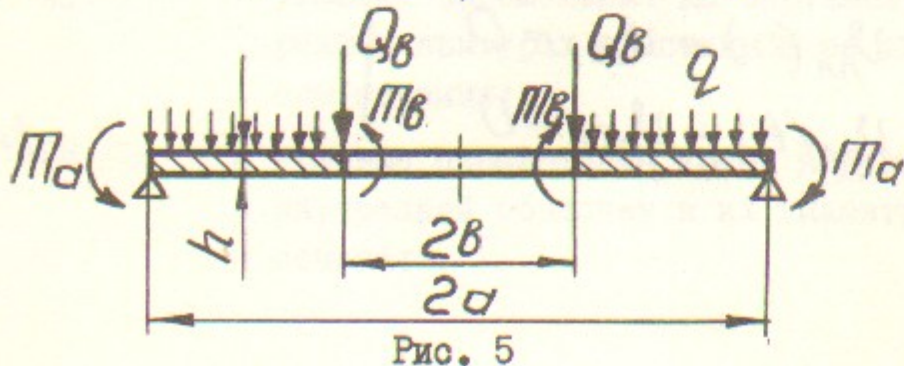


Рис. 5

пользуя принцип суперпозиции, получим следующие выражения для углов поворота в диаметральном сечении пластины на радиусах

$$\rho = 1 \quad \text{и} \quad \rho = \gamma :$$

$$\begin{aligned} \vartheta(1) &= \frac{q\alpha^3}{8(1+\nu)D} \left(1 + \frac{3+\nu}{1-\nu} \gamma^2 \right) - \frac{\alpha}{(1+\nu)D(1-\gamma^2)} \left[m_a \left(1 + \right. \right. \\ &\quad \left. \left. + \gamma^2 \frac{1+\nu}{1-\nu} \right) + m_b \cdot \frac{2\gamma^2}{1-\nu} \right] \end{aligned} \quad (4)$$

$$\begin{aligned} \vartheta(\gamma) &= \frac{q\alpha^3\gamma}{8(1+\nu)D} \left(\frac{3+\nu}{1-\nu} + \gamma^2 \right) - \frac{\alpha\gamma}{(1+\nu)D(1-\gamma^2)} \left[m_a \frac{2}{1-\nu} + \right. \\ &\quad \left. + m_b \left(\gamma^2 + \frac{1+\nu}{1-\nu} \right) \right] \end{aligned}$$

Углы поворота краев оболочек даются выражениями /2/:

$$\vartheta_{061} = \frac{m_a}{\beta_1 D_1}; \quad \vartheta_{062} = \frac{m_b}{\beta_2 D_2} \quad (5)$$

После подстановки этих значений углов в систему (2) получим значения реактивных моментов на контурах пластины:

$$m_a = \frac{q\alpha^2}{8} \cdot \frac{\left(1 + \gamma^2 \frac{3+\nu}{1-\nu} \right) \left(\frac{1+\nu}{\alpha\gamma\beta_2} \frac{D}{D_2} + \frac{\gamma^2 + \frac{1+\nu}{1-\nu}}{1-\gamma^2} \right) - 2\gamma^2 \frac{\gamma^2 + \frac{3+\nu}{1-\nu}}{(1-\nu)(1-\gamma^2)}}{\left(\frac{1+\nu}{\alpha\beta_1} \frac{D}{D_1} + \frac{1+\gamma^2 \frac{1+\nu}{1-\nu}}{1-\gamma^2} \right) \left(\frac{1+\nu}{\alpha\gamma\beta_2} \frac{D}{D_2} + \frac{\gamma^2 + \frac{1+\nu}{1-\nu}}{1-\gamma^2} \right) - \frac{4\gamma^2}{(1-\nu)^2(1-\gamma^2)^2}}$$

$$m_b = \frac{q\alpha^2}{8} \cdot \frac{\left(\gamma^2 + \frac{3+\nu}{1-\nu} \right) \left(\frac{1+\nu}{\alpha\beta_1} \frac{D}{D_1} + \frac{1+\gamma^2 \frac{1+\nu}{1-\nu}}{1-\gamma^2} \right) - 2 \cdot \frac{1 + \gamma^2 \frac{3+\nu}{1-\nu}}{(1-\nu)(1-\gamma^2)}}{\left(\frac{1+\nu}{\alpha\beta_1} \frac{D}{D_1} + \frac{(1+\gamma^2 \frac{1+\nu}{1-\nu})}{1-\gamma^2} \right) \left(\frac{1+\nu}{\alpha\gamma\beta_2} \frac{D}{D_2} + \frac{\gamma^2 + \frac{1+\nu}{1-\nu}}{1-\gamma^2} \right) - \frac{4\gamma^2}{(1-\nu)^2(1-\gamma^2)^2}}$$

Заменив β_1 , β_2 , D , D_1 , D_2 их значениями (стр. 4), получаем окончательно:

$$M_a = q\alpha^2 \cdot K_{ma}; M_b = q\alpha^2 \cdot K_{mb}$$

где

$$\left. \begin{aligned} K_{ma} &= \frac{\left(1+\gamma^2 \frac{3+v}{1-v}\right) \left[1-v_2^2\right] \left[\frac{1-v_2^2}{(1-v)\sqrt{3(1-v_2^2)}} E_2 \cdot \alpha_2 + \frac{\gamma^2 + \frac{1+v}{1-v}}{1-\gamma^2}\right] - \frac{2\gamma^2}{1-\gamma^2} \cdot \frac{\gamma^2 + \frac{3+v}{1-v}}{1-v}}{8 \left\{ \left[\frac{1-v_1^2}{(1-v)\sqrt{3(1-v_1^2)}} E_1 \cdot \alpha_1 + \frac{1+\gamma^2 \frac{1+v}{1-v}}{1-\gamma^2} \left[\frac{1-v_2^2}{(1-v)\sqrt{3(1-v_2^2)}} E_2 \cdot \alpha_2 + \frac{\gamma^2 + \frac{1+v}{1-v}}{1-\gamma^2} \right] - \frac{4\gamma^2}{(1-v)^2(\gamma^2)^2} \right\}} \\ K_{mb} &= \frac{\left(1+\gamma^2 \frac{3+v}{1-v}\right) \left[1-v_1^2\right] \left[\frac{1-v_1^2}{(1-v)\sqrt{3(1-v_1^2)}} E_1 \cdot \alpha_1 + \frac{1+\gamma^2 \frac{1+v}{1-v}}{1-\gamma^2}\right] - \frac{2}{1-\gamma^2} \cdot \frac{1+\gamma^2 \frac{3+v}{1-v}}{1-v}}{8 \left\{ \left[\frac{1-v_1^2}{(1-v)\sqrt{3(1-v_1^2)}} E_1 \cdot \alpha_1 + \frac{1+\gamma^2 \frac{1+v}{1-v}}{1-\gamma^2} \left[\frac{1-v_2^2}{(1-v)\sqrt{3(1-v_2^2)}} E_2 \cdot \alpha_2 + \frac{\gamma^2 + \frac{1+v}{1-v}}{1-\gamma^2} \right] - \frac{4\gamma^2}{(1-v)^2(\gamma^2)^2} \right\}} \end{aligned} \right\} \quad (6)$$

Следует отметить, что коэффициенты реактивных моментов K_{ma} и K_{mb} зависят лишь от трех геометрических параметров конструкции:

$$\gamma = \frac{b}{a}, \quad \alpha_1 = \frac{(h_1)^3}{\sqrt{a\gamma}}, \quad \alpha_2 = \frac{(h_2)^3}{\sqrt{a\gamma}},$$

характеризующих конструкцию пластины и условия закрепления контуров, что создает значительные удобства при практическом расчете.

Для весьма распространенного случая, когда $E = E_1 = E_2$ и $v = v_1 = v_2 = 0,3$, выражения для K_{ma} и K_{mb} приобретают вид:

$$\left. \begin{aligned} K_{ma} &= \frac{(1+4,714\gamma^2)(1,011\alpha_2 + \frac{\gamma^2 + 1857}{1-\gamma^2}) - \frac{2,857}{1-\gamma^2}(\gamma^2 + 4,714)}{8 \left[(1,011\alpha_1 + \frac{1+1857\gamma^2}{1-\gamma^2})(1,011\alpha_2 + \frac{\gamma^2 + 1,857}{1-\gamma^2}) - 8,163 \frac{\gamma^2}{(1-\gamma^2)^2} \right]} \\ K_{mb} &= \frac{(\gamma^2 + 4,714)(1,011\alpha_1 + \frac{1+1857\gamma^2}{1-\gamma^2}) - \frac{2,857}{1-\gamma^2}(1+4,714\gamma^2)}{8 \left[(1,011\alpha_1 + \frac{1+1857\gamma^2}{1-\gamma^2})(1,011\alpha_2 + \frac{\gamma^2 + 1,857}{1-\gamma^2}) - 8,163 \frac{\gamma^2}{(1-\gamma^2)^2} \right]} \end{aligned} \right\} \quad (6')$$

Деформации и напряжения

Суммируя прогибы и изгибающие моменты от всех действующих на пластину элементарных нагрузок (рис. 5) — q , Q_B , M_a и M_b , — получим выражения для полного прогиба и полных изгибающих моментов в диаметральном и тангенциальном сечениях пластины:

$$\left. \begin{aligned} W(\rho) &= \frac{q\alpha^4}{Eh^3} \left\{ \frac{3}{16}(1-v^2)\rho^4 - \frac{3}{8}(3+v)(1-v)(1+\gamma^2)\rho^2 - \right. \\ &\quad \left. - \frac{3}{4}(3+v)(1+v)\gamma^2 \ln \rho + \frac{3}{16}(1-v)[(5+v) + \right. \\ &\quad \left. + 2(3+v)\gamma^2] - \frac{6(1-v)}{1-\gamma^2}[(1-\rho^2)(K_{ma} + \gamma^2 K_{mb}) - \right. \\ &\quad \left. - 2 \frac{1+v}{1-v}\gamma^2 \ln \rho (K_{ma} + K_{mb})] \right\} \end{aligned} \right\} \quad (7)$$

$$M_z(\rho) = q\alpha^2 \left[\frac{3+v}{16} \left(1 - \frac{\gamma^2}{\rho^2} \right) (1-\rho^2) - K_{ma} \frac{1-\frac{\gamma^2}{\rho^2}}{1-\gamma^2} + K_{mb} \frac{\gamma^2 \cdot \frac{1-\rho^2}{\rho^2}}{1-\gamma^2} \right]$$

$$\left. \begin{aligned} M_\theta(\rho) &= q\alpha^2 \left[\frac{3+v}{16} + \frac{3+v}{16} \left(1 + \frac{1}{\rho^2} \right) \gamma^2 - \frac{1+3v}{16} \rho^2 - K_{ma} \frac{1+\frac{\rho^2}{\rho^2}}{1-\gamma^2} - \right. \\ &\quad \left. - K_{mb} \frac{\gamma^2 \cdot \frac{1+\rho^2}{\rho^2}}{1-\gamma^2} \right] \end{aligned} \right\}$$

Выражения (6) и (7) позволяют в любом кольцевом сечении днища найти прогиб и изгибающие моменты.

На практике часто требуются значения наибольшего прогиба (при $\rho = \gamma$) и моментов на контурах. Подставляя в выражения (7) значения $\rho = \gamma$ и $\rho = 1$, имеем:

$$\left. \begin{aligned} W(\gamma) &= \frac{qa^4}{Eh^3} \cdot \frac{3}{16}(1-v)[(5+v)(1-\gamma^4) - 4(3+v) \frac{1+v}{1-v} \gamma^2 \ln \gamma - \\ &- 32(K_{ma} + \gamma^2 K_{mb}) + 64 \frac{1+v}{1-v} \frac{\gamma^2 \ln \gamma}{1-\gamma^2} (K_{ma} + K_{mb})] \\ M_z(1) &= -qa^2 \cdot K_{ma} \\ M_z(\gamma) &= qa^2 \cdot K_{mb} \\ M_\theta(1) &= qa^2 \left[\frac{(1-v)+(3+v)\gamma^2}{8} - \frac{K_{ma} + \gamma^2(K_{ma} + 2K_{mb})}{1-\gamma^2} \right] \\ M_\theta(\gamma) &= qa^2 \left[\frac{(3+v)+(1-v)\gamma^2}{8} - \frac{2K_{ma} + K_{mb}(1+\gamma^2)}{1-\gamma^2} \right] \end{aligned} \right\} \quad (8)$$

Учитывая, что $/2/$

$$\sigma = \frac{6M}{h^2},$$

получаем окончательно

$$\left. \begin{aligned} W(\gamma) &= K_w \cdot \frac{qa^4}{E \cdot h^3}; \\ \sigma_z(1) &= K_{\sigma z 1} \cdot \frac{qa^2}{h^2}; \quad \sigma_z(\gamma) = K_{\sigma z \gamma} \cdot \frac{qa^2}{h^2}; \\ \sigma_\theta(1) &= K_{\sigma \theta 1} \cdot \frac{qa^2}{h^2}; \quad \sigma_\theta(\gamma) = K_{\sigma \theta \gamma} \cdot \frac{qa^2}{h^2} \end{aligned} \right\} \quad (9)$$

где:

$$\left. \begin{aligned} K_w &= \frac{3}{16}(1-v)[(5+v)(1-\gamma^4) - 4(3+v) \frac{1+v}{1-v} \gamma^2 \ln \gamma - \\ &- 32(K_{ma} + \gamma^2 K_{mb}) + 64 \frac{1+v}{1-v} \frac{\gamma^2 \ln \gamma}{1-\gamma^2} (K_{ma} + K_{mb})]; \\ K_{\sigma z 1} &= -6K_{ma}; \quad K_{\sigma z \gamma} = 6K_{mb}; \end{aligned} \right\}$$

$$\left. \begin{aligned} K_{\sigma \theta 1} &= 6 \left[\frac{(1-v)+(3+v)\gamma^2}{8} - \frac{K_{ma} + \gamma^2(K_{ma} + 2K_{mb})}{1-\gamma^2} \right] \\ K_{\sigma \theta \gamma} &= 6 \left[\frac{(3+v)+(1-v)\gamma^2}{8} - \frac{2K_{ma} + K_{mb}(1+\gamma^2)}{1-\gamma^2} \right] \end{aligned} \right\}$$

Выражения (9) позволяют для любого круглого или кольцевого днища, опирающегося на длинные цилиндрические оболочки, определить наибольший прогиб и все напряжения изгиба на контурах.

Для большего удобства пользования и сокращения времени при расчете коэффициенты K_w , $K_{\sigma z 1}$, $K_{\sigma z \gamma}$, $K_{\sigma \theta 1}$ и $K_{\sigma \theta \gamma}$ для случая, когда $E = E_1 = E_2$ и $v = v_1 = v_2 = 0,3$, представлены в виде таблиц в зависимости от γ , α_1 и α_2 (стр. 18-38). В случае, когда рассчитываемое днище имеет параметры γ , α_1 и α_2 , отличные от имеющихся в таблицах, хорошая точность достигается обычной линейной интерполяцией.

Пример расчета с использованием таблиц

Рассчитать наибольший прогиб и напряжения изгиба в днище вакуумного объема, схематически изображенного на рис. 6 (размеры в мм). Материал всех деталей – сталь IX18H9T ($E = 2,1 \cdot 10^6$ кг/см²; $v = 0,3$).

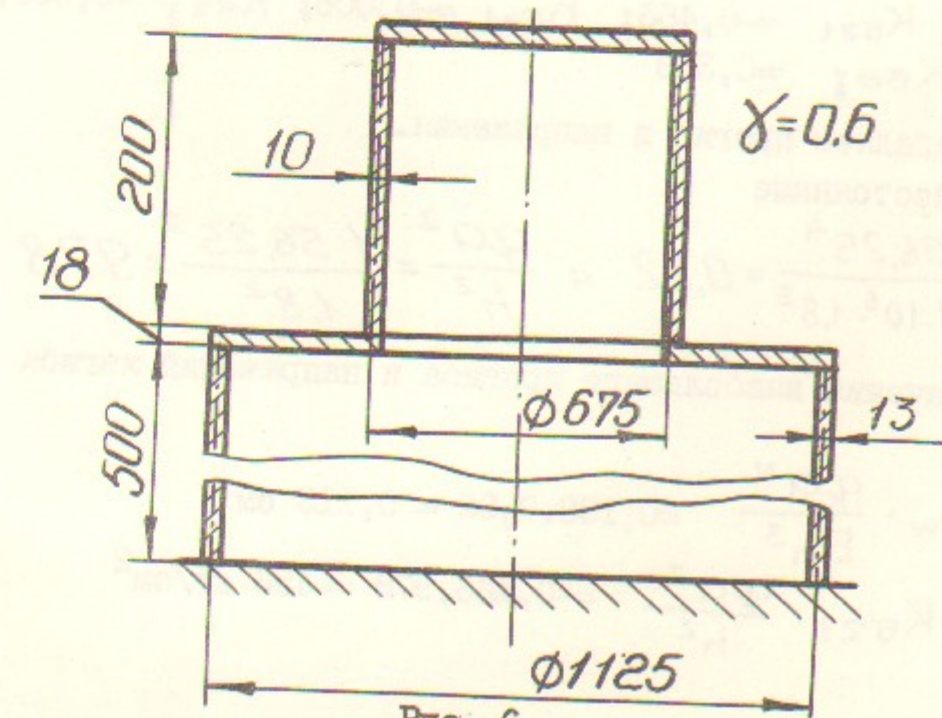


Рис. 6

I. Определяем, являются ли оболочки длинными

$$\beta_1 \ell_1 = \frac{\sqrt{3(1-\nu_1^2)}}{\sqrt{\alpha h_1}} \cdot \ell_1 = \frac{\sqrt{3(1-0,3^2)}}{\sqrt{56,25 \cdot 1,3}} \cdot 50 = 7,5 > 3$$

$$\beta_2 \ell_2 = \frac{\sqrt{3(1-\nu_2^2)}}{\sqrt{\alpha h_2}} \cdot \ell_2 = \frac{\sqrt{3(1-0,3^2)}}{\sqrt{33,75 \cdot 1}} \cdot 20 = 4,42 > 3$$

Обе оболочки являются длинными и расчет можно проводить по приведенным формулам.

2. Определяем α_1 и α_2

$$\alpha_1 = \frac{\left(\frac{h}{h_1}\right)^3}{\sqrt{\frac{\alpha}{h_1}}} = \frac{\left(\frac{1,8}{1,3}\right)^3}{\sqrt{\frac{56,25}{1,3}}} = 0,4$$

$$\alpha_2 = \frac{\left(\frac{h}{h_2}\right)^3}{\sqrt{\frac{\alpha}{h_2}}} = \frac{\left(\frac{1,8}{1}\right)^3}{\sqrt{\frac{33,75}{1}}} = 1$$

3. Определяем коэффициенты прогиба и моментов.

Для $\gamma = 0,6$, $\alpha_1 = 0,4$ и $\alpha_2 = 1$ находим в таблицах:

$$K_w = 0,138; K_{\sigma z 1} = -0,466; K_{\sigma \theta 1} = -0,008; K_{\sigma z \gamma} = 0,386;$$

$$K_{\sigma \theta \gamma} = 0,389$$

4. Определяем прогиб и напряжения.

Найдя постоянные

$$\frac{qa^4}{Eh^3} = \frac{1 \cdot 56,25^4}{2,1 \cdot 10^6 \cdot 1,8^3} = 0,82 \quad \text{и} \quad \frac{qa^2}{h^2} = \frac{1 \cdot 56,25^2}{1,8^2} = 978,$$

находим значения наибольшего прогиба и напряжений изгиба в днище:

$$W(\gamma) = K_w \cdot \frac{qa^4}{Eh^3} = 0,138 \cdot 0,82 = 0,113 \text{ см}$$

$$\sigma_z(1) = K_{\sigma z 1} \cdot \frac{qa^2}{h^2} = -0,466 \cdot 978 = -456 \text{ кг/см}^2$$

$$\sigma_\theta(1) = K_{\sigma \theta 1} \frac{qa^2}{h^2} = -0,008 \cdot 978 = -7,8 \text{ кг/см}^2$$

$$\sigma_z(\gamma) = K_{\sigma z \gamma} \frac{qa^2}{h^2} = 0,386 \cdot 978 = 378 \text{ кг/см}^2$$

$$\sigma_\theta(\gamma) = K_{\sigma \theta \gamma} \frac{qa^2}{h^2} = 0,389 \cdot 978 = 381 \text{ кг/см}^2$$

K_w

α_2	0	0.2	0.4	0.6	0.8	1	2	4	6	8	10	20	40	60	80	∞
0	0.126	0.199	0.250	0.287	0.304	0.316	0.336	0.359	0.373	0.387	0.394	0.406	0.448	0.494	0.527	0.553
1	0.156	0.241	0.301	0.346	0.382	0.410	0.433	0.450	0.463	0.474	0.481	0.495	0.515	0.535	0.553	0.571
2	0.170	0.260	0.325	0.374	0.412	0.443	0.474	0.505	0.538	0.569	0.594	0.615	0.645	0.674	0.704	0.734
3	0.194	0.295	0.369	0.425	0.470	0.508	0.540	0.571	0.602	0.631	0.661	0.691	0.721	0.751	0.781	0.811
4	0.182	0.278	0.348	0.400	0.441	0.474	0.506	0.537	0.567	0.597	0.627	0.657	0.687	0.717	0.747	0.777
5	0.188	0.287	0.350	0.413	0.465	0.512	0.545	0.578	0.610	0.641	0.671	0.701	0.731	0.761	0.791	0.821
6	0.192	0.292	0.365	0.421	0.476	0.520	0.550	0.589	0.620	0.651	0.681	0.711	0.741	0.771	0.801	0.831
7	0.199	0.303	0.379	0.437	0.487	0.532	0.562	0.593	0.623	0.653	0.683	0.713	0.743	0.773	0.803	0.833
8	0.192	0.292	0.365	0.421	0.476	0.520	0.550	0.589	0.620	0.651	0.681	0.711	0.741	0.771	0.801	0.831
9	0.194	0.295	0.369	0.425	0.470	0.508	0.540	0.571	0.602	0.631	0.661	0.691	0.721	0.751	0.781	0.811
10	0.194	0.295	0.369	0.425	0.470	0.508	0.540	0.571	0.602	0.631	0.661	0.691	0.721	0.751	0.781	0.811
11	0.199	0.303	0.379	0.437	0.487	0.532	0.562	0.593	0.623	0.653	0.683	0.713	0.743	0.773	0.803	0.833
12	0.203	0.307	0.384	0.443	0.490	0.537	0.567	0.598	0.628	0.657	0.687	0.717	0.747	0.777	0.807	0.837
13	0.204	0.309	0.387	0.447	0.492	0.538	0.568	0.599	0.629	0.658	0.688	0.718	0.748	0.778	0.808	0.838
14	0.205	0.312	0.390	0.450	0.494	0.540	0.570	0.599	0.630	0.659	0.689	0.719	0.749	0.779	0.809	0.839
15	0.206	0.314	0.392	0.452	0.496	0.542	0.572	0.601	0.631	0.660	0.690	0.720	0.750	0.780	0.810	0.840
16	0.207	0.316	0.394	0.454	0.498	0.544	0.574	0.603	0.633	0.662	0.692	0.722	0.752	0.782	0.812	0.842
17	0.208	0.318	0.396	0.456	0.499	0.546	0.576	0.604	0.634	0.663	0.693	0.723	0.753	0.783	0.813	0.843
18	0.209	0.320	0.398	0.458	0.500	0.548	0.578	0.606	0.636	0.665	0.694	0.724	0.754	0.784	0.814	0.844
19	0.210	0.322	0.400	0.460	0.501	0.550	0.580	0.609	0.639	0.668	0.697	0.727	0.757	0.787	0.817	0.847
20	0.211	0.323	0.401	0.461	0.502	0.551	0.581	0.608	0.638	0.667	0.696	0.726	0.756	0.786	0.816	0.846
21	0.212	0.325	0.403	0.463	0.503	0.553	0.583	0.610	0.640	0.669	0.698	0.728	0.758	0.788	0.818	0.848
22	0.213	0.326	0.404	0.464	0.504	0.554	0.584	0.611	0.641	0.670	0.699	0.729	0.759	0.789	0.819	0.849
23	0.214	0.327	0.405	0.465	0.505	0.555	0.585	0.612	0.642	0.671	0.699	0.730	0.760	0.790	0.820	0.850
24	0.215	0.328	0.406	0.466	0.506	0.556	0.586	0.613	0.643	0.672	0.699	0.731	0.761	0.791	0.821	0.851
25	0.216	0.329	0.407	0.467	0.507	0.557	0.587	0.614	0.644	0.673	0.699	0.732	0.762	0.792	0.822	0.852
26	0.217	0.330	0.408	0.468	0.508	0.558	0.588	0.615	0.645	0.674	0.699	0.733	0.763	0.793	0.823	0.853
27	0.218	0.331	0.409	0.469	0.509	0.559	0.589	0.616	0.646	0.675	0.699	0.734	0.764	0.794	0.824	0.854
28	0.219	0.332	0.410	0.470	0.510	0.560	0.590	0.617	0.647	0.676	0.699	0.735	0.765	0.795	0.825	0.855
29	0.220	0.333	0.411	0.471	0.511	0.561	0.591	0.618	0.648	0.677	0.699	0.736	0.766	0.796	0.826	0.856
30	0.221	0.334	0.412	0.472	0.512	0.562	0.592	0.619	0.649	0.678	0.699	0.737	0.767	0.797	0.827	0.857
31	0.222	0.335	0.413	0.473	0.513	0.563	0.593	0.620	0.650	0.679	0.699	0.738	0.768	0.798	0.828	0.858
32	0.223	0.336	0.414	0.474	0.514	0.564	0.594	0.621	0.651	0.680	0.699	0.739	0.769	0.799	0.829	0.859
33	0.224	0.337	0.415	0.475	0.515	0.565	0.595	0.622	0.652	0.681	0.699	0.740	0.770	0.800	0.830	0.860
34	0.225	0.338	0.416	0.476	0.516	0.566	0.596	0.623	0.653	0.682	0.699	0.741	0.771	0.801	0.831	0.861
35	0.226	0.339	0.417	0.477	0.517	0.567	0.597	0.624	0.654	0.683	0.699	0.742	0.772	0.802	0.832	0.862
36	0.227	0.340	0.418	0.478	0.518	0.568	0.598	0.625	0.655	0.684	0.699	0.743	0.773	0.803	0.833	0.863
37	0.228	0.341	0.419	0.479	0.519	0.569	0.599	0.626	0.656	0.685	0.699	0.744	0.774	0.804	0.834	0.864
38	0.229	0.342	0.420	0.480	0.520	0.570	0.600	0.627	0.657	0.686	0.699	0.745	0.775	0.805	0.835	0.865
39	0.230	0.343	0.421	0.481	0.521	0.571	0.601	0.628	0.658	0.687	0.699	0.746	0.776	0.806	0.836	0.866
40	0.231	0.344	0.422	0.482	0.522	0.572	0.602	0.629	0.659	0.688	0.699	0.747	0.777	0.807	0.837	0.867
41	0.232	0.345	0.423	0.483	0.523	0.573	0.603	0.630	0.660	0.689	0.699	0.748	0.778	0.808	0.838	0.868
42	0.233	0.346	0.424	0.484	0.524	0.										

K_{GRI}

$$\gamma = 0.2$$

α^2	0	0.2	0.4	0.6	0.8	1	2	4	6	8	10	20	40	60	80	∞
α'	0	0.2	0.4	0.6	0.8	1	2	4	6	8	10	20	40	60	80	0
0	0	0.2	0.4	0.6	0.8	1	2	4	6	8	10	20	40	60	80	0
0.2	0.2	0.4	0.6	0.8	1	2	4	6	8	10	20	40	60	80	0	0
0.4	0.4	0.75	0.95	1.15	1.35	1.55	1.75	1.95	2.15	2.35	2.55	2.75	2.95	3.15	3.35	0.35
0.6	0.6	1.25	1.55	1.85	2.15	2.45	2.75	3.05	3.35	3.65	3.95	4.25	4.55	4.85	5.15	0.55
0.8	0.8	1.75	2.15	2.55	2.95	3.35	3.75	4.15	4.55	4.95	5.35	5.75	6.15	6.55	6.95	0.95
1	1	2.75	3.25	3.75	4.25	4.75	5.25	5.75	6.25	6.75	7.25	7.75	8.25	8.75	9.25	1.35
2	2	3.25	4.48	5.75	7.05	8.35	9.65	10.95	12.25	13.55	14.85	16.15	17.45	18.75	20.05	2.35
4	4	7.05	12.7	17.4	22.1	26.8	31.5	36.2	40.9	44.6	49.3	54.0	58.7	63.4	68.1	72.8
6	6	15.5	23.4	31.3	39.2	47.1	55.0	62.9	70.8	78.7	86.6	94.5	102.4	110.3	118.2	126.1
8	8	31.3	49.1	66.9	84.8	102.6	120.4	138.3	156.2	174.1	191.9	209.8	227.7	245.6	263.5	281.4
10	10	61.1	88.9	116.7	144.6	172.4	190.2	218.1	245.9	273.8	301.6	329.5	357.4	385.3	413.2	441.1
12	12	112	178.6	245.3	312.0	378.7	445.4	512.1	578.8	645.5	712.2	778.9	845.6	912.3	979.0	1045.7
14	14	227	394.5	562.2	730.0	897.7	1064.5	1231.3	1400.1	1568.9	1737.7	1906.5	2075.3	2244.1	2412.9	2581.7
16	16	448	748.4	1057.4	1366.3	1675.2	1984.1	2293.0	2601.9	2910.8	3219.7	3528.6	3837.5	4146.4	4455.3	4764.2
18	18	718	1181.3	1650.1	2119.0	2588.9	3057.8	3526.7	3995.6	4464.5	4933.4	5402.3	5871.2	6340.1	6809.0	7277.9
20	20	1320	1737.1	2154.0	2571.0	2988.9	3405.8	3822.7	4239.6	4656.5	5073.4	5490.3	5907.2	6324.1	6741.0	7159.9
22	22	2484	3505.4	4922.3	6340.2	7758.1	9176.0	10593.9	11997.8	13396.7	14795.6	16194.5	17593.4	18992.3	20391.2	21789.1
24	24	3294	4844.0	6575.9	8304.8	10043.7	11742.6	13430.5	15099.4	16798.3	18497.2	20196.1	21895.0	23594.9	25293.8	26992.7
26	26	4484	6575.0	8304.9	10043.8	11742.7	13430.7	15099.6	16798.5	18497.4	20196.3	21895.2	23594.1	25293.0	26992.9	28691.8
28	28	6484	8484.0	10259.0	12029.9	13839.8	15649.7	17459.6	19269.5	21079.4	22879.3	24679.2	26479.1	28279.0	30078.9	31878.8
30	30	105	1109	1111	1113	1116	1118	1121	1125	1128	1131	1134	1137	1140	1143	1146
32	32	132	137	142	146	150	154	158	162	166	170	174	178	182	186	190
34	34	155	159	163	167	171	175	179	183	187	191	195	199	203	207	211
36	36	178	179	180	181	182	183	184	185	186	187	188	189	190	191	192
38	38	190	191	192	193	194	195	196	197	198	199	200	201	202	203	204
40	40	211	212	214	216	218	220	222	224	226	228	230	232	234	236	238
42	42	232	236	240	244	248	252	256	260	264	268	272	276	280	284	288
44	44	255	259	263	267	271	275	279	283	287	291	295	299	303	307	311
46	46	278	282	286	290	294	298	302	306	310	314	318	322	326	330	334
48	48	301	305	309	313	317	321	325	329	333	337	341	345	349	353	357
50	50	324	328	332	336	340	344	348	352	356	360	364	368	372	376	380
52	52	347	351	355	359	363	367	371	375	379	383	387	391	395	399	403
54	54	370	374	378	382	386	390	394	398	402	406	410	414	418	422	426
56	56	393	397	401	405	409	413	417	421	425	429	433	437	441	445	449
58	58	416	420	424	428	432	436	440	444	448	452	456	460	464	468	472
60	60	439	443	447	451	455	459	463	467	471	475	479	483	487	491	495
62	62	462	466	470	474	478	482	486	490	494	498	502	506	510	514	518
64	64	485	489	493	497	501	505	509	513	517	521	525	529	533	537	541
66	66	508	512	516	520	524	528	532	536	540	544	548	552	556	560	564
68	68	531	535	539	543	547	551	555	559	563	567	571	575	579	583	587
70	70	554	558	562	566	570	574	578	582	586	590	594	598	602	606	610
72	72	577	581	585	589	593	597	601	605	609	613	617	621	625	629	633
74	74	600	604	608	612	616	620	624	628	632	636	640	644	648	652	656
76	76	623	627	631	635	639	643	647	651	655	659	663	667	671	675	679
78	78	646	650	654	658	662	666	670	674	678	682	686	690	694	698	702
80	80	669	673	677	681	685	689	693	697	701	705	709	713	717	721	725
82	82	692	696	700	704	708	712	716	720	724	728	732	736	740	744	748
84	84															

$K_{\theta\theta}$

α^2	0	0.2	0.4	0.6	0.8	1	2	4	6	8	10	20	40	60	80	∞
0	-0.256	-0.091	-0.085	0.103	0.141	0.255	0.344	0.445	0.443	0.458	0.453	0.466	0.474	0.479	0.488	0.491
0.2	-0.219	-0.085	-0.085	0.105	0.143	0.251	0.353	0.391	0.443	0.477	0.479	0.482	0.488	0.491	0.499	0.500
0.4	-0.221	-0.096	-0.096	0.107	0.147	0.265	0.350	0.400	0.422	0.436	0.456	0.466	0.474	0.479	0.488	0.499
1	-0.225	-0.099	-0.099	0.110	0.152	0.277	0.376	0.448	0.442	0.457	0.489	0.506	0.512	0.515	0.523	0.529
2	-0.229	-0.103	-0.109	0.114	0.157	0.287	0.392	0.437	0.462	0.481	0.495	0.505	0.516	0.520	0.525	0.529
4	-0.232	-0.103	-0.106	0.117	0.162	0.297	0.407	0.455	0.481	0.498	0.518	0.534	0.554	0.564	0.575	0.575
6	-0.234	-0.104	-0.104	0.119	0.164	0.302	0.415	0.463	0.491	0.508	0.548	0.566	0.573	0.573	0.576	0.587
8	-0.235	-0.105	-0.106	0.120	0.166	0.312	0.422	0.472	0.500	0.518	0.557	0.578	0.588	0.599	0.604	0.609
10	-0.235	-0.105	-0.106	0.122	0.164	0.313	0.422	0.472	0.500	0.518	0.557	0.578	0.588	0.599	0.604	0.609
20	-0.237	-0.105	-0.106	0.124	0.164	0.314	0.433	0.485	0.516	0.543	0.580	0.598	0.604	0.609	0.611	0.617
40	-0.238	-0.106	-0.106	0.122	0.164	0.314	0.434	0.485	0.516	0.543	0.580	0.598	0.604	0.609	0.611	0.617
60	-0.238	-0.107	-0.107	0.123	0.170	0.315	0.434	0.487	0.516	0.543	0.580	0.598	0.604	0.609	0.611	0.617
80	-0.239	-0.107	-0.107	0.123	0.170	0.315	0.435	0.487	0.516	0.543	0.580	0.598	0.604	0.609	0.611	0.617
100	-0.240	-0.107	-0.107	0.123	0.171	0.317	0.437	0.490	0.519	0.548	0.579	0.597	0.604	0.609	0.611	0.617
120	-0.240	-0.107	-0.107	0.123	0.171	0.317	0.437	0.490	0.519	0.548	0.579	0.597	0.604	0.609	0.611	0.617
140	-0.240	-0.107	-0.107	0.123	0.171	0.317	0.437	0.490	0.519	0.548	0.579	0.597	0.604	0.609	0.611	0.617
160	-0.240	-0.107	-0.107	0.123	0.171	0.317	0.437	0.490	0.519	0.548	0.579	0.597	0.604	0.609	0.611	0.617
180	-0.240	-0.107	-0.107	0.123	0.171	0.317	0.437	0.490	0.519	0.548	0.579	0.597	0.604	0.609	0.611	0.617
200	-0.240	-0.107	-0.107	0.123	0.171	0.317	0.437	0.490	0.519	0.548	0.579	0.597	0.604	0.609	0.611	0.617
220	-0.240	-0.107	-0.107	0.123	0.171	0.317	0.437	0.490	0.519	0.548	0.579	0.597	0.604	0.609	0.611	0.617
240	-0.240	-0.107	-0.107	0.123	0.171	0.317	0.437	0.490	0.519	0.548	0.579	0.597	0.604	0.609	0.611	0.617
260	-0.240	-0.107	-0.107	0.123	0.171	0.317	0.437	0.490	0.519	0.548	0.579	0.597	0.604	0.609	0.611	0.617
280	-0.240	-0.107	-0.107	0.123	0.171	0.317	0.437	0.490	0.519	0.548	0.579	0.597	0.604	0.609	0.611	0.617
300	-0.240	-0.107	-0.107	0.123	0.171	0.317	0.437	0.490	0.519	0.548	0.579	0.597	0.604	0.609	0.611	0.617
320	-0.240	-0.107	-0.107	0.123	0.171	0.317	0.437	0.490	0.519	0.548	0.579	0.597	0.604	0.609	0.611	0.617
340	-0.240	-0.107	-0.107	0.123	0.171	0.317	0.437	0.490	0.519	0.548	0.579	0.597	0.604	0.609	0.611	0.617
360	-0.240	-0.107	-0.107	0.123	0.171	0.317	0.437	0.490	0.519	0.548	0.579	0.597	0.604	0.609	0.611	0.617
380	-0.240	-0.107	-0.107	0.123	0.171	0.317	0.437	0.490	0.519	0.548	0.579	0.597	0.604	0.609	0.611	0.617
400	-0.240	-0.107	-0.107	0.123	0.171	0.317	0.437	0.490	0.519	0.548	0.579	0.597	0.604	0.609	0.611	0.617
420	-0.240	-0.107	-0.107	0.123	0.171	0.317	0.437	0.490	0.519	0.548	0.579	0.597	0.604	0.609	0.611	0.617
440	-0.240	-0.107	-0.107	0.123	0.171	0.317	0.437	0.490	0.519	0.548	0.579	0.597	0.604	0.609	0.611	0.617
460	-0.240	-0.107	-0.107	0.123	0.171	0.317	0.437	0.490	0.519	0.548	0.579	0.597	0.604	0.609	0.611	0.617
480	-0.240	-0.107	-0.107	0.123	0.171	0.317	0.437	0.490	0.519	0.548	0.579	0.597	0.604	0.609	0.611	0.617
500	-0.240	-0.107	-0.107	0.123	0.171	0.317	0.437	0.490	0.519	0.548	0.579	0.597	0.604	0.609	0.611	0.617
520	-0.240	-0.107	-0.107	0.123	0.171	0.317	0.437	0.490	0.519	0.548	0.579	0.597	0.604	0.609	0.611	0.617
540	-0.240	-0.107	-0.107	0.123	0.171	0.317	0.437	0.490	0.519	0.548	0.579	0.597	0.604	0.609	0.611	0.617
560	-0.240	-0.107	-0.107	0.123	0.171	0.317	0.437	0.490	0.519	0.548	0.579	0.597	0.604	0.609	0.611	0.617
580	-0.240	-0.107	-0.107	0.123	0.171	0.317	0.437	0.490	0.519	0.548	0.579	0.597	0.604	0.609	0.611	0.617
600	-0.240	-0.107	-0.107	0.123	0.171	0.317	0.437	0.490	0.519	0.548	0.579	0.597	0.604	0.609	0.611	0.617
620	-0.240	-0.107	-0.107	0.123	0.171	0.317	0.437	0.490	0.519	0.548	0.579	0.597	0.604	0.609	0.611	0.617
640	-0.240	-0.107	-0.107	0.123	0.171	0.317	0.437	0.490	0.519	0.548	0.579	0.597	0.604	0.609	0.611	0.617
660	-0.240	-0.107	-0.107	0.123	0.171	0.317	0.437	0.490	0.519	0.548	0.579	0.597	0.604	0.609	0.611	0.617
680	-0.240	-0.														

K_{Gr1}

α_2	0	0.2	0.4	0.6	0.8	1	2	4	6	8	10	20	40	60	80	∞
0.167	0.280	0.371	0.444	0.504	0.555	0.724	0.878	0.950	0.992	1.02	1.08	1.11	1.13	1.15	∞	
80	0.165	0.278	0.367	0.439	0.498	0.548	0.713	0.852	0.932	1.097	1.06	1.09	1.10	1.12	1.12	
60	0.165	0.277	0.365	0.437	0.496	0.546	0.709	0.857	0.927	1.067	1.03	1.05	1.08	1.10	1.10	
40	0.164	0.276	0.364	0.434	0.494	0.545	0.702	0.847	0.915	1.055	1.02	1.07	1.08	1.10	1.10	
20	0.161	0.270	0.355	0.424	0.480	0.528	0.682	0.820	0.884	0.921	0.945	1.03	1.04	1.04	106	
10	0.156	0.261	0.342	0.417	0.460	0.504	0.646	0.772	0.829	0.856	0.884	0.931	0.957	0.984	104	
8	0.153	0.256	0.336	0.399	0.450	0.493	0.630	0.751	0.805	0.837	0.857	0.902	0.926	0.952	104	
6	0.150	0.250	0.327	0.387	0.436	0.477	0.606	0.719	0.779	0.818	0.859	0.903	0.945	0.974	104	
4	0.143	0.238	0.310	0.367	0.412	0.460	0.566	0.668	0.711	0.731	0.753	0.794	0.835	0.878	104	
2	0.129	0.213	0.276	0.323	0.360	0.391	0.484	0.552	0.595	0.644	0.627	0.653	0.667	0.674	104	
1	0.112	0.184	0.235	0.275	0.305	0.339	0.401	0.458	0.482	0.496	0.523	0.533	0.536	0.538	0.543	
0.8	0.106	0.175	0.224	0.260	0.288	0.310	0.376	0.428	0.450	0.463	0.470	0.487	0.496	0.501	0.506	
0.6	0.100	0.165	0.210	0.243	0.289	0.348	0.394	0.444	0.477	0.505	0.533	0.563	0.587	0.602	0.615	
0.4	0.099	0.151	0.192	0.222	0.245	0.253	0.315	0.372	0.381	0.387	0.399	0.406	0.409	0.412	0.412	
0.2	0.081	0.134	0.170	0.196	0.216	0.231	0.245	0.286	0.308	0.329	0.334	0.344	0.351	0.352	0.355	
0	0.066	0.112	0.142	0.164	0.180	0.192	0.221	0.253	0.269	0.278	0.284	0.285	0.286	0.288	0	

 $X = 0.4$
 K_w
 ∞

α_2	0	0.2	0.4	0.6	0.8	1	2	4	6	8	10	20	40	60	80	∞
0	-0.852	-0.753	-0.675	-0.592	-0.515	-0.435	-0.355	-0.275	-0.195	-0.115	-0.035	0.135	0.235	0.335	0.435	0
80	-0.849	-0.749	-0.657	-0.560	-0.454	-0.354	-0.254	-0.154	-0.054	-0.014	0.044	0.144	0.244	0.344	0.444	0
60	-0.848	-0.748	-0.655	-0.562	-0.458	-0.358	-0.258	-0.158	-0.058	-0.018	0.048	0.148	0.248	0.348	0.448	0
40	-0.845	-0.745	-0.652	-0.560	-0.455	-0.355	-0.255	-0.155	-0.055	-0.015	0.045	0.145	0.245	0.345	0.445	0
20	-0.840	-0.738	-0.649	-0.559	-0.451	-0.349	-0.249	-0.149	-0.049	-0.009	0.049	0.149	0.249	0.349	0.449	0
10	-0.828	-0.724	-0.642	-0.552	-0.443	-0.341	-0.241	-0.141	-0.041	-0.001	0.041	0.141	0.241	0.341	0.441	0
8	-0.823	-0.717	-0.638	-0.547	-0.434	-0.332	-0.232	-0.132	-0.032	-0.002	0.042	0.142	0.242	0.342	0.442	0
6	-0.815	-0.707	-0.625	-0.539	-0.426	-0.321	-0.221	-0.121	-0.021	-0.001	0.041	0.141	0.241	0.341	0.441	0
4	-0.808	-0.690	-0.612	-0.523	-0.411	-0.309	-0.209	-0.109	-0.009	-0.001	0.040	0.140	0.240	0.340	0.440	0
2	-0.804	-0.682	-0.602	-0.513	-0.401	-0.299	-0.199	-0.099	-0.009	-0.001	0.039	0.139	0.239	0.339	0.439	0
1	-0.801	-0.678	-0.595	-0.498	-0.387	-0.284	-0.184	-0.084	-0.004	-0.001	0.038	0.138	0.238	0.338	0.438	0
0.8	-0.798	-0.675	-0.592	-0.495	-0.385	-0.282	-0.182	-0.082	-0.002	-0.001	0.037	0.137	0.237	0.337	0.437	0
0.6	-0.794	-0.671	-0.588	-0.488	-0.382	-0.279	-0.179	-0.079	-0.001	-0.001	0.036	0.136	0.236	0.336	0.436	0
0.4	-0.789	-0.667	-0.584	-0.481	-0.379	-0.276	-0.176	-0.076	-0.001	-0.001	0.035	0.135	0.235	0.335	0.435	0
0.2	-0.785	-0.663	-0.581	-0.478	-0.376	-0.273	-0.173	-0.073	-0.001	-0.001	0.034	0.134	0.234	0.334	0.434	0
0	-0.780	-0.659	-0.577	-0.474	-0.373	-0.272	-0.172	-0.072	-0.001	-0.001	0.033	0.133	0.233	0.333	0.433	0

 $X = 0.4$

$K_{\theta\theta}$

α_1	0	0.2	0.4	0.6	0.8	1	2	4	6	8	10	20	40	60	80	∞
0	0.630	0.0815	0.9377	1.02	1.09	1.14	1.28	1.38	1.42	1.44	1.46	1.49	1.51	1.51	1.52	
0.2	0.539	0.708	0.822	0.904	0.985	1.01	1.15	1.26	1.30	1.34	1.37	1.39	1.39	1.40	1.40	
0.4	0.471	0.626	0.732	0.810	0.859	0.915	1.05	1.15	1.20	1.22	1.24	1.27	1.29	1.29	1.30	
0.6	0.419	0.461	0.560	0.633	0.733	0.780	0.841	0.965	1.07	1.13	1.15	1.18	1.20	1.21	1.22	
0.8	0.377	0.508	0.601	0.670	0.724	0.766	0.828	0.892	1.03	1.06	1.07	1.10	1.12	1.13	1.14	
1.	0.342	0.465	0.532	0.617	0.668	0.708	0.830	0.927	1.01	1.04	1.13	1.18	1.20	1.21	1.22	
4	0.144	0.203	0.247	0.282	0.310	0.333	0.405	0.467	0.495	0.510	0.520	0.554	0.558	0.561	0.567	
2	0.235	0.325	0.391	0.442	0.482	0.515	0.565	0.608	0.648	0.688	0.734	0.754	0.785	0.816	0.826	
0.8	0.082	0.116	0.142	0.178	0.215	0.246	0.302	0.351	0.386	0.394	0.411	0.421	0.425	0.432	0.438	
6	0.014	0.048	0.081	0.0207	0.0228	0.0246	0.0302	0.0351	0.0373	0.0386	0.0394	0.0411	0.0421	0.0425	0.0432	
4	0.014	0.0203	0.0247	0.0282	0.0310	0.0333	0.0405	0.0467	0.0495	0.0510	0.0520	0.0554	0.0558	0.0561	0.0567	
2	0.0235	0.0325	0.0391	0.0442	0.0482	0.0515	0.0565	0.0608	0.0648	0.0688	0.0734	0.0754	0.0785	0.0816	0.0826	
0.6	0.019	0.049	0.060	0.0733	0.0780	0.0841	0.0965	0.107	0.113	0.115	0.120	0.124	0.127	0.129	0.130	
0.4	0.011	0.014	0.016	0.018	0.0195	0.0217	0.0246	0.0278	0.0309	0.0337	0.0366	0.0394	0.0411	0.0421	0.0432	
0.2	0.0539	0.0708	0.0822	0.0904	0.0985	1.01	1.15	1.26	1.30	1.34	1.37	1.39	1.39	1.40	1.40	
0	0	0.630	0.0815	0.9377	1.02	1.09	1.14	1.28	1.38	1.42	1.44	1.46	1.49	1.51	1.51	1.52

$\chi = 0.4$

$\chi = 0.7$

$\chi = 1.0$

$\chi = 1.3$

$\chi = 1.6$

$\chi = 2.0$

$\chi = 2.4$

$\chi = 2.8$

$\chi = 3.2$

$\chi = 3.6$

$\chi = 4.0$

$\chi = 4.4$

$\chi = 4.8$

$\chi = 5.2$

$\chi = 5.6$

$\chi = 6.0$

$\chi = 6.4$

$\chi = 6.8$

$\chi = 7.2$

$\chi = 7.6$

$\chi = 8.0$

$\chi = 8.4$

$\chi = 8.8$

$\chi = 9.2$

$\chi = 9.6$

$\chi = 10.0$

$\chi = 10.4$

$\chi = 10.8$

$\chi = 11.2$

$\chi = 11.6$

$\chi = 12.0$

$\chi = 12.4$

$\chi = 12.8$

$\chi = 13.2$

$\chi = 13.6$

$\chi = 14.0$

$\chi = 14.4$

$\chi = 14.8$

$\chi = 15.2$

$\chi = 15.6$

$\chi = 16.0$

$\chi = 16.4$

$\chi = 16.8$

$\chi = 17.2$

$\chi = 17.6$

$\chi = 18.0$

$\chi = 18.4$

$\chi = 18.8$

$\chi = 19.2$

$\chi = 19.6$

$\chi = 20.0$

$\chi = 20.4$

$\chi = 20.8$

$\chi = 21.2$

$\chi = 21.6$

$\chi = 22.0$

$\chi = 22.4$

$\chi = 22.8$

$\chi = 23.2$

$\chi = 23.6$

$\chi = 24.0$

$\chi = 24.4$

$\chi = 24.8$

$\chi = 25.2$

$\chi = 25.6$

$\chi = 26.0$

$\chi = 26.4$

$\chi = 26.8$

$\chi = 27.2$

$\chi = 27.6$

$\chi = 28.0$

$\chi = 28.4$

$\chi = 28.8$

$\chi = 29.2$

$\chi = 29.6$

$\chi = 30.0$

$\chi = 30.4$

$\chi = 30.8$

$\chi = 31.2$

$\chi = 31.6$

$\chi = 32.0$

$\chi = 32.4$

$\chi = 32.8$

$\chi = 33.2$

$\chi = 33.6$

$\chi = 34.0$

$\chi = 34.4$

$\chi = 34.8$

$\chi = 35.2$

$\chi = 35.6$

$\chi = 36.0$

$\chi = 36.4$

$\chi = 36.8$

$\chi = 37.2$

$\chi = 37.6$

$\chi = 38.0$

$\chi = 38.4$

$\chi = 38.8$

$\chi = 39.2$

$\chi = 39.6$

$\chi = 40.0$

$\chi = 40.4$

$\chi = 40.8$

$\chi = 41$

Kōgyō
28

$$x = 0.4$$

α_2	0	0.2	0.4	0.6	0.8	1	2	4	6	8	10	20	40	60	80	∞
0	0.189	0.244	0.281	0.307	0.326	0.341	0.383	0.444	0.425	0.433	0.438	0.447	0.452	0.453	0.454	0.457
0.2	0.238	0.313	0.363	0.399	0.425	0.448	0.509	0.555	0.574	0.584	0.591	0.605	0.612	0.615	0.616	0.620
0.4	0.245	0.365	0.427	0.472	0.507	0.534	0.612	0.673	0.698	0.712	0.721	0.739	0.749	0.753	0.755	0.760
0.6	0.303	0.407	0.479	0.532	0.572	0.604	0.699	0.773	0.804	0.821	0.832	0.855	0.868	0.872	0.874	0.881
0.8	0.326	0.440	0.521	0.581	0.627	0.654	0.773	0.859	0.896	0.916	0.929	0.956	0.971	0.976	0.979	0.987
1	0.345	0.468	0.556	0.622	0.673	0.714	0.836	0.934	0.976	0.999	1.01	1.05	1.06	1.07	1.07	1.08
2	0.403	0.538	0.671	0.758	0.827	0.883	1.06	1.20	1.26	1.29	1.32	1.36	1.39	1.40	1.40	1.42
4	0.452	0.535	0.674	0.883	0.971	1.04	1.27	1.46	1.55	1.60	1.63	1.70	1.74	1.75	1.76	1.78
6	0.474	0.671	0.822	0.941	1.04	1.12	1.37	1.60	1.70	1.75	1.79	1.87	1.92	1.93	1.94	1.96
8	0.486	0.691	0.849	0.975	1.08	1.16	1.44	1.68	1.79	1.85	1.89	1.98	2.03	2.04	2.05	2.08
10	0.494	0.704	0.867	0.997	1.10	1.19	1.48	1.73	1.84	1.91	1.95	2.05	2.10	2.12	2.13	2.16
20	0.521	0.749	0.928	1.07	1.19	1.29	1.62	1.92	2.06	2.14	2.19	2.31	2.37	2.39	2.41	2.44
60	0.524	0.757	0.940	1.09	1.21	1.31	1.65	1.96	2.10	2.19	2.24	2.36	2.43	2.45	2.46	2.50
80	0.525	0.757	0.940	1.09	1.20	1.31	1.65	1.96	2.10	2.19	2.24	2.36	2.43	2.45	2.46	2.50
∞	0.530	0.765	0.951	1.10	1.23	1.33	1.68	2.00	2.15	2.23	2.29	2.42	2.48	2.51	2.52	2.56

三

四〇

α_1	0	0.2	0.4	0.6	0.8	1	2	4	6	8	10	20	40	60	80	∞
α_2	0	0.023	0.044	0.056	0.064	0.073	0.084	0.091	0.093	0.095	0.095	0.098	0.099	0.099	0.100	0
0.2	0.034	0.064	0.083	0.095	0.104	0.111	0.130	0.143	0.148	0.151	0.153	0.156	0.158	0.159	0.159	0.160
0.4	0.041	0.078	0.102	0.119	0.131	0.141	0.168	0.187	0.195	0.200	0.202	0.208	0.211	0.212	0.213	0.214
0.6	0.047	0.089	0.117	0.137	0.153	0.165	0.199	0.226	0.237	0.243	0.247	0.255	0.259	0.260	0.261	0.263
0.8	0.050	0.096	0.128	0.152	0.170	0.184	0.227	0.259	0.273	0.281	0.285	0.295	0.302	0.304	0.304	0.307
1	0.053	0.103	0.138	0.164	0.185	0.201	0.250	0.289	0.306	0.315	0.321	0.334	0.340	0.343	0.344	0.348
2	0.061	0.121	0.166	0.202	0.231	0.255	0.331	0.395	0.426	0.443	0.454	0.477	0.490	0.495	0.497	0.504
4	0.067	0.135	0.189	0.234	0.272	0.304	0.400	0.510	0.537	0.585	0.603	0.644	0.666	0.674	0.678	0.691
6	0.069	0.141	0.200	0.249	0.291	0.326	0.449	0.569	0.628	0.662	0.685	0.737	0.766	0.777	0.782	0.798
8	0.070	0.144	0.205	0.257	0.301	0.339	0.473	0.605	0.671	0.711	0.737	0.797	0.831	0.843	0.849	0.868
10	0.071	0.146	0.209	0.262	0.308	0.348	0.488	0.630	0.701	0.744	0.773	0.838	0.876	0.889	0.896	0.917
20	0.073	0.150	0.217	0.274	0.323	0.367	0.523	0.687	0.771	0.823	0.858	0.938	0.985	1.00	1.01	1.04
40	0.074	0.153	0.221	0.280	0.331	0.377	0.543	0.720	0.813	0.870	0.909	0.999	1.05	1.07	1.08	1.11
60	0.074	0.154	0.222	0.282	0.334	0.381	0.550	0.732	0.828	0.887	0.927	1.02	1.08	1.10	1.11	1.14
80	0.074	0.154	0.223	0.283	0.336	0.383	0.554	0.738	0.836	0.896	0.937	1.03	1.09	1.11	1.12	1.15
100	0.074	0.155	0.225	0.286	0.340	0.388	0.565	0.757	0.860	0.924	0.967	1.07	1.13	1.15	1.16	1.16
∞	0.074	0.155	0.225	0.286	0.340	0.388	0.565	0.757	0.860	0.924	0.967	1.07	1.13	1.15	1.16	1.16

λ_{crit}

α^2/α	0	0.2	0.4	0.6	0.8	1	2	4	6	8	10	20	40	60	80	∞
0	0.480	-0.349	-0.294	-0.225	-0.166	-0.101	-0.045	-0.004	-0.004	-0.004	-0.004	-0.004	-0.004	-0.004	-0.004	
0.2	-0.546	-0.446	-0.346	-0.233	-0.153	-0.096	-0.033	-0.011	-0.001	-0.001	-0.001	-0.001	-0.001	-0.001	-0.001	
0.4	-0.587	-0.483	-0.383	-0.283	-0.183	-0.103	-0.043	-0.011	-0.001	-0.001	-0.001	-0.001	-0.001	-0.001	-0.001	
1	-0.654	-0.554	-0.454	-0.354	-0.254	-0.154	-0.054	-0.014	-0.001	-0.001	-0.001	-0.001	-0.001	-0.001	-0.001	
2	-0.732	-0.632	-0.532	-0.432	-0.332	-0.232	-0.132	-0.052	-0.012	-0.001	-0.001	-0.001	-0.001	-0.001	-0.001	
4	-0.732	-0.632	-0.532	-0.432	-0.332	-0.232	-0.132	-0.052	-0.012	-0.001	-0.001	-0.001	-0.001	-0.001	-0.001	
8	-0.732	-0.632	-0.532	-0.432	-0.332	-0.232	-0.132	-0.052	-0.012	-0.001	-0.001	-0.001	-0.001	-0.001	-0.001	
10	-0.732	-0.632	-0.532	-0.432	-0.332	-0.232	-0.132	-0.052	-0.012	-0.001	-0.001	-0.001	-0.001	-0.001	-0.001	
20	-0.766	-0.704	-0.651	-0.608	-0.565	-0.521	-0.478	-0.425	-0.372	-0.319	-0.266	-0.213	-0.160	-0.107	-0.054	
40	-0.771	-0.712	-0.659	-0.607	-0.564	-0.521	-0.478	-0.425	-0.372	-0.319	-0.266	-0.213	-0.160	-0.107	-0.054	
60	-0.772	-0.715	-0.665	-0.613	-0.569	-0.526	-0.483	-0.430	-0.377	-0.324	-0.271	-0.218	-0.165	-0.112	-0.059	
80	-0.775	-0.716	-0.666	-0.614	-0.570	-0.527	-0.484	-0.431	-0.378	-0.325	-0.272	-0.219	-0.166	-0.113	-0.059	
100	-0.777	-0.717	-0.667	-0.615	-0.571	-0.528	-0.485	-0.432	-0.379	-0.326	-0.273	-0.220	-0.167	-0.114	-0.059	
150	-0.780	-0.720	-0.670	-0.618	-0.574	-0.531	-0.491	-0.438	-0.381	-0.328	-0.275	-0.222	-0.169	-0.116	-0.059	
200	-0.782	-0.722	-0.672	-0.620	-0.576	-0.533	-0.493	-0.440	-0.384	-0.331	-0.278	-0.225	-0.171	-0.118	-0.059	
300	-0.784	-0.724	-0.674	-0.622	-0.578	-0.535	-0.495	-0.442	-0.386	-0.333	-0.280	-0.227	-0.173	-0.119	-0.059	
400	-0.785	-0.725	-0.675	-0.623	-0.579	-0.536	-0.496	-0.443	-0.387	-0.334	-0.281	-0.228	-0.174	-0.120	-0.059	
600	-0.786	-0.726	-0.676	-0.624	-0.580	-0.537	-0.497	-0.444	-0.388	-0.335	-0.282	-0.229	-0.175	-0.121	-0.059	
800	-0.787	-0.727	-0.677	-0.625	-0.581	-0.538	-0.498	-0.445	-0.389	-0.336	-0.283	-0.230	-0.176	-0.122	-0.059	
1000	-0.788	-0.728	-0.678	-0.626	-0.582	-0.539	-0.499	-0.446	-0.390	-0.337	-0.284	-0.231	-0.177	-0.123	-0.059	
1500	-0.789	-0.729	-0.679	-0.627	-0.583	-0.540	-0.500	-0.447	-0.391	-0.338	-0.285	-0.232	-0.178	-0.124	-0.059	
2000	-0.790	-0.730	-0.680	-0.628	-0.584	-0.541	-0.501	-0.448	-0.392	-0.339	-0.286	-0.233	-0.179	-0.125	-0.059	
3000	-0.791	-0.731	-0.681	-0.629	-0.585	-0.542	-0.502	-0.449	-0.393	-0.340	-0.287	-0.234	-0.180	-0.126	-0.059	
4000	-0.792	-0.732	-0.682	-0.630	-0.586	-0.543	-0.503	-0.450	-0.394	-0.341	-0.288	-0.235	-0.181	-0.127	-0.059	
6000	-0.793	-0.733	-0.683	-0.631	-0.587	-0.544	-0.504	-0.451	-0.395	-0.342	-0.289	-0.236	-0.182	-0.128	-0.059	
8000	-0.794	-0.734	-0.684	-0.632	-0.588	-0.545	-0.505	-0.452	-0.396	-0.343	-0.290	-0.237	-0.183	-0.129	-0.059	
10000	-0.795	-0.735	-0.685	-0.633	-0.589	-0.546	-0.506	-0.453	-0.397	-0.344	-0.291	-0.238	-0.184	-0.130	-0.059	
15000	-0.796	-0.736	-0.686	-0.634	-0.590	-0.547	-0.507	-0.454	-0.398	-0.345	-0.292	-0.239	-0.185	-0.131	-0.059	
20000	-0.797	-0.737	-0.687	-0.635	-0.591	-0.548	-0.508	-0.455	-0.399	-0.346	-0.293	-0.240	-0.186	-0.132	-0.059	
30000	-0.798	-0.738	-0.688	-0.636	-0.592	-0.549	-0.509	-0.456	-0.400	-0.347	-0.294	-0.241	-0.187	-0.133	-0.059	
40000	-0.799	-0.739	-0.689	-0.637	-0.593	-0.550	-0.510	-0.457	-0.401	-0.348	-0.295	-0.242	-0.188	-0.134	-0.059	
60000	-0.800	-0.740	-0.690	-0.638	-0.594	-0.551	-0.511	-0.458	-0.402	-0.349	-0.296	-0.243	-0.189	-0.135	-0.059	
80000	-0.801	-0.741	-0.691	-0.639	-0.595	-0.552	-0.512	-0.459	-0.403	-0.350	-0.297	-0.244	-0.190	-0.136	-0.059	
100000	-0.802	-0.742	-0.692	-0.640	-0.596	-0.553	-0.513	-0.460	-0.404	-0.351	-0.298	-0.245	-0.191	-0.137	-0.059	
150000	-0.803	-0.743	-0.693	-0.641	-0.597	-0.554	-0.514	-0.461	-0.405	-0.352	-0.299	-0.246	-0.192	-0.138	-0.059	
200000	-0.804	-0.744	-0.694	-0.642	-0.598	-0.555	-0.515	-0.462	-0.406	-0.353	-0.300	-0.247	-0.193	-0.139	-0.059	
300000	-0.805	-0.745	-0.695	-0.643	-0.599	-0.556	-0.516	-0.463	-0.407	-0.354	-0.301	-0.248	-0.194	-0.140	-0.059	
400000	-0.806	-0.746	-0.696	-0.644	-0.600	-0.557	-0.517	-0.464	-0.408	-0.355	-0.302	-0.249	-0.195	-0.141	-0.059	
600000	-0.807	-0.747	-0.697	-0.645	-0.601	-0.558	-0.518	-0.465	-0.409	-0.356	-0.303	-0.250	-0.196	-0.142	-0.059	
800000	-0.808	-0.748	-0.698	-0.646	-0.602	-0.559	-0.519	-0.466	-0.410	-0.357	-0.304	-0.251	-0.197	-0.143	-0.059	
1000000	-0.809	-0.749	-0.699	-0.647	-0.603	-0.560	-0.520	-0.467	-0.411	-0.358	-0.305	-0.252	-0.198	-0.144	-0.059	
1500000	-0.810	-0.750	-0.700	-0.648	-0.604	-0.561	-0.521	-0.468	-0.412	-0.359	-0.306	-0.253	-0.199	-0.145	-0.059	
2000000	-0.811	-0.751	-0.701	-0.649	-0.605	-0.562	-0.522	-0.469	-0.413	-0.360	-0.307	-0.254	-0.200	-0.146	-0.059	
3000000	-0.812	-0.752	-0.702	-0.650	-0.606	-0.563	-0.523	-0.470	-0.414	-0.361	-0.308	-0.255	-0.201	-0.147	-0.059	
4000																

K_{G01}

25

 $\lambda = 0.6$

α_2	0	0.2	0.4	0.6	0.8	1	2	4	6	8	10	20	40	60	80	∞
0.2	-0.164	-0.056-0.0056	0.0025	0.0065	0.0235	0.087	0.185	0.367	0.537	0.618	0.694	0.777	0.848	0.918	0.98	
0.4	-0.176	-0.073-0.0073	0.0073	0.0233	0.087	0.188	0.368	0.537	0.618	0.694	0.777	0.848	0.918	0.98		
0.6	-0.185	-0.079-0.0079	0.0084	0.024	0.094	0.203	0.372	0.542	0.621	0.697	0.777	0.848	0.918	0.98		
0.8	-0.191	-0.083-0.0083	0.0084	0.024	0.094	0.203	0.372	0.542	0.621	0.697	0.777	0.848	0.918	0.98		
1	-0.196	-0.086-0.0086	0.0051	0.0096	0.033	0.024	0.0529	0.0366	0.0387	0.0401	0.0449	0.0451	0.0459	0.0474		
2	-0.210	-0.096-0.0096	0.0059	0.015	0.0460	0.0306	0.0430	0.0487	0.0519	0.0539	0.0585	0.0609	0.0618	0.0622	0.0636	
5	-0.223	-0.105-0.0010	0.0010	0.0070	0.0138	0.0197	0.0398	0.0593	0.0688	0.0745	0.0782	0.0851	0.0915	0.0932	0.0940	
8	-0.226	-0.108-0.0011	0.0073	0.0145	0.0208	0.028	0.0428	0.0630	0.0762	0.0829	0.0844	0.0971	0.104	0.116	0.118	
10	-0.227	-0.109-0.0011	0.0073	0.0145	0.0208	0.028	0.0428	0.0630	0.0762	0.0829	0.0844	0.0971	0.104	0.116	0.118	
20	-0.230	-0.113-0.0011	0.0076	0.0145	0.0227	0.0471	0.0735	0.0874	0.0959	0.102	0.115	0.123	0.126	0.127	0.132	
40	-0.231	-0.113-0.0011	0.0077	0.0154	0.0222	0.0471	0.0735	0.0874	0.0959	0.102	0.115	0.123	0.126	0.127	0.132	
60	-0.232	-0.113-0.0011	0.0078	0.0156	0.0225	0.0479	0.0746	0.0889	0.0977	0.104	0.118	0.126	0.129	0.130	0.135	
80	-0.232	-0.113-0.0011	0.0078	0.0156	0.0225	0.0479	0.0746	0.0889	0.0977	0.104	0.118	0.126	0.129	0.130	0.137	
100	-0.233	-0.113-0.0011	0.0079	0.0158	0.0228	0.0488	0.0770	0.0920	0.101	0.108	0.123	0.132	0.135	0.136	0.142	
120	-0.233	-0.114-0.0011	0.0079	0.0158	0.0228	0.0488	0.0770	0.0920	0.101	0.108	0.123	0.132	0.135	0.136	0.142	
140	-0.233	-0.114-0.0011	0.0079	0.0158	0.0228	0.0488	0.0770	0.0920	0.101	0.108	0.123	0.132	0.135	0.136	0.142	
160	-0.233	-0.114-0.0011	0.0079	0.0158	0.0228	0.0488	0.0770	0.0920	0.101	0.108	0.123	0.132	0.135	0.136	0.142	
180	-0.233	-0.114-0.0011	0.0079	0.0158	0.0228	0.0488	0.0770	0.0920	0.101	0.108	0.123	0.132	0.135	0.136	0.142	
200	-0.233	-0.114-0.0011	0.0079	0.0158	0.0228	0.0488	0.0770	0.0920	0.101	0.108	0.123	0.132	0.135	0.136	0.142	
220	-0.233	-0.114-0.0011	0.0079	0.0158	0.0228	0.0488	0.0770	0.0920	0.101	0.108	0.123	0.132	0.135	0.136	0.142	
240	-0.233	-0.114-0.0011	0.0079	0.0158	0.0228	0.0488	0.0770	0.0920	0.101	0.108	0.123	0.132	0.135	0.136	0.142	
260	-0.233	-0.114-0.0011	0.0079	0.0158	0.0228	0.0488	0.0770	0.0920	0.101	0.108	0.123	0.132	0.135	0.136	0.142	
280	-0.233	-0.114-0.0011	0.0079	0.0158	0.0228	0.0488	0.0770	0.0920	0.101	0.108	0.123	0.132	0.135	0.136	0.142	
300	-0.233	-0.114-0.0011	0.0079	0.0158	0.0228	0.0488	0.0770	0.0920	0.101	0.108	0.123	0.132	0.135	0.136	0.142	
320	-0.233	-0.114-0.0011	0.0079	0.0158	0.0228	0.0488	0.0770	0.0920	0.101	0.108	0.123	0.132	0.135	0.136	0.142	
340	-0.233	-0.114-0.0011	0.0079	0.0158	0.0228	0.0488	0.0770	0.0920	0.101	0.108	0.123	0.132	0.135	0.136	0.142	
360	-0.233	-0.114-0.0011	0.0079	0.0158	0.0228	0.0488	0.0770	0.0920	0.101	0.108	0.123	0.132	0.135	0.136	0.142	
380	-0.233	-0.114-0.0011	0.0079	0.0158	0.0228	0.0488	0.0770	0.0920	0.101	0.108	0.123	0.132	0.135	0.136	0.142	
400	-0.233	-0.114-0.0011	0.0079	0.0158	0.0228	0.0488	0.0770	0.0920	0.101	0.108	0.123	0.132	0.135	0.136	0.142	
420	-0.233	-0.114-0.0011	0.0079	0.0158	0.0228	0.0488	0.0770	0.0920	0.101	0.108	0.123	0.132	0.135	0.136	0.142	
440	-0.233	-0.114-0.0011	0.0079	0.0158	0.0228	0.0488	0.0770	0.0920	0.101	0.108	0.123	0.132	0.135	0.136	0.142	
460	-0.233	-0.114-0.0011	0.0079	0.0158	0.0228	0.0488	0.0770	0.0920	0.101	0.108	0.123	0.132	0.135	0.136	0.142	
480	-0.233	-0.114-0.0011	0.0079	0.0158	0.0228	0.0488	0.0770	0.0920	0.101	0.108	0.123	0.132	0.135	0.136	0.142	
500	-0.233	-0.114-0.0011	0.0079	0.0158	0.0228	0.0488	0.0770	0.0920	0.101	0.108	0.123	0.132	0.135	0.136	0.142	
520	-0.233	-0.114-0.0011	0.0079	0.0158	0.0228	0.0488	0.0770	0.0920	0.101	0.108	0.123	0.132	0.135	0.136	0.142	
540	-0.233	-0.114-0.0011	0.0079	0.0158	0.0228	0.0488	0.0770	0.0920	0.101	0.108	0.123	0.132	0.135	0.136	0.142	
560	-0.233	-0.114-0.0011	0.0079	0.0158	0.0228	0.0488	0.0770	0.0920	0.101	0.108	0.123	0.132	0.135	0.136	0.142	
580	-0.233	-0.114-0.0011	0.0079	0.0158	0.0228	0.0488	0.0770	0.0920	0.101	0.108	0.123	0.132	0.135	0.136	0.142	
600	-0.233	-0.114-0.0011	0.0079	0.0158	0.0228	0.0488	0.0770	0.0920	0.101	0.108	0.123	0.132	0.135	0.136	0.142	
620	-0.233	-0.114-0.0011	0.0079	0.0158	0.0228	0.0488	0.0770	0.0920	0.101	0.108	0.123	0.132	0.135	0.136	0.142	
640	-0.233	-0.114-0.0011	0.0079	0.0158	0.0228	0.0488	0.0770	0.0920	0.101	0.108	0.123	0.132	0.135	0.136	0.142	
660	-															

K_{G11}

α_2	0	0.2	0.4	0.6	0.8	1	2	4	6	8	10	20	40	60	80	∞
0	0.005	0.007	0.009	0.011	0.013	0.015	0.017	0.019	0.021	0.023	0.025	0.027	0.029	0.031	0.033	0.035
0.2	0.006	0.017	0.022	0.025	0.029	0.032	0.035	0.038	0.041	0.044	0.047	0.050	0.053	0.056	0.059	0.062
0.4	0.008	0.022	0.035	0.048	0.061	0.074	0.087	0.100	0.113	0.126	0.139	0.152	0.165	0.178	0.191	0.204
1	0.010	0.030	0.042	0.055	0.067	0.080	0.093	0.106	0.119	0.132	0.145	0.158	0.171	0.184	0.197	0.210
2	0.011	0.033	0.051	0.065	0.077	0.088	0.101	0.115	0.128	0.141	0.154	0.167	0.180	0.193	0.206	0.219
4	0.011	0.036	0.057	0.075	0.091	0.105	0.121	0.137	0.153	0.169	0.185	0.201	0.217	0.233	0.249	0.265
8	0.012	0.038	0.062	0.084	0.103	0.121	0.142	0.162	0.183	0.204	0.225	0.246	0.267	0.288	0.309	0.331
10	0.012	0.038	0.062	0.084	0.103	0.121	0.142	0.162	0.183	0.204	0.225	0.246	0.267	0.288	0.309	0.331
20	0.012	0.039	0.064	0.087	0.108	0.131	0.154	0.177	0.200	0.223	0.246	0.269	0.292	0.315	0.338	0.361
40	0.012	0.042	0.067	0.090	0.113	0.141	0.171	0.201	0.231	0.261	0.291	0.321	0.351	0.381	0.411	0.441
60	0.012	0.042	0.067	0.090	0.113	0.141	0.171	0.201	0.231	0.261	0.291	0.321	0.351	0.381	0.411	0.441
80	0.012	0.043	0.068	0.092	0.115	0.143	0.173	0.203	0.233	0.263	0.293	0.323	0.353	0.383	0.413	0.443
100	0.012	0.043	0.068	0.092	0.115	0.143	0.173	0.203	0.233	0.263	0.293	0.323	0.353	0.383	0.413	0.443
200	0.012	0.043	0.068	0.092	0.115	0.143	0.173	0.203	0.233	0.263	0.293	0.323	0.353	0.383	0.413	0.443
400	0.012	0.043	0.068	0.092	0.115	0.143	0.173	0.203	0.233	0.263	0.293	0.323	0.353	0.383	0.413	0.443
600	0.012	0.043	0.068	0.092	0.115	0.143	0.173	0.203	0.233	0.263	0.293	0.323	0.353	0.383	0.413	0.443
800	0.012	0.043	0.068	0.092	0.115	0.143	0.173	0.203	0.233	0.263	0.293	0.323	0.353	0.383	0.413	0.443
1000	0.012	0.043	0.068	0.092	0.115	0.143	0.173	0.203	0.233	0.263	0.293	0.323	0.353	0.383	0.413	0.443

$X = 0.8$

K_{G11}

α_2	0	0.2	0.4	0.6	0.8	1	2	4	6	8	10	20	40	60	80	∞
0	0.005	0.007	0.009	0.011	0.013	0.015	0.017	0.019	0.021	0.023	0.025	0.027	0.029	0.031	0.033	0.035
0.2	0.006	0.017	0.022	0.025	0.029	0.032	0.035	0.038	0.041	0.044	0.047	0.050	0.053	0.056	0.059	0.062
0.4	0.008	0.022	0.035	0.048	0.061	0.074	0.087	0.100	0.113	0.126	0.139	0.152	0.165	0.178	0.191	0.204
1	0.010	0.030	0.042	0.055	0.067	0.080	0.093	0.106	0.119	0.132	0.145	0.158	0.171	0.184	0.197	0.210
2	0.011	0.033	0.051	0.065	0.077	0.088	0.101	0.115	0.128	0.141	0.154	0.167	0.180	0.193	0.206	0.219
4	0.011	0.036	0.057	0.075	0.091	0.105	0.121	0.137	0.153	0.169	0.185	0.201	0.217	0.233	0.249	0.265
8	0.012	0.038	0.062	0.084	0.103	0.121	0.142	0.162	0.183	0.204	0.225	0.246	0.267	0.288	0.309	0.331
10	0.012	0.038	0.062	0.084	0.103	0.121	0.142	0.162	0.183	0.204	0.225	0.246	0.267	0.288	0.309	0.331
20	0.012	0.039	0.064	0.087	0.108	0.131	0.154	0.177	0.200	0.223	0.246	0.269	0.292	0.315	0.338	0.361
40	0.012	0.042	0.067	0.090	0.113	0.141	0.171	0.201	0.231	0.261	0.291	0.321	0.351	0.381	0.411	0.441
80	0.012	0.043	0.068	0.092	0.115	0.143	0.173	0.203	0.233	0.263	0.293	0.323	0.353	0.383	0.413	0.443
160	0.012	0.043	0.068	0.092	0.115	0.143	0.173	0.203	0.233	0.263	0.293	0.323	0.353	0.383	0.413	0.443
320	0.012	0.043	0.068	0.092	0.115	0.143	0.173	0.203	0.233	0.263	0.293	0.323	0.353	0.383	0.413	0.443
640	0.012	0.043	0.068	0.092	0.115	0.143	0.173	0.203	0.233	0.263	0.293	0.323	0.353	0.383	0.413	0.443
1280	0.012	0.043	0.068	0.092	0.115	0.143	0.173	0.203	0.233	0.263	0.293	0.323	0.353	0.383	0.413	0.443
2560	0.012	0.043	0.068	0.092	0.115	0.143	0.173	0.203	0.233	0.263	0.293	0.323	0.353	0.383	0.413	0.443
5120	0.012	0.043	0.068	0.092	0.115	0.143	0.173	0.203	0.233	0.263	0.293	0.323	0.353	0.383	0.413	0.443
10240	0.012	0.043	0.068	0.092	0.115	0.143	0.173	0.203	0.233	0.263	0.293	0.323	0.353	0.383	0.413	0.443
20480	0.012	0.043	0.068	0.092	0.115	0.143	0.173	0.203	0.233	0.263	0.293	0.323	0.353	0.383	0.413	0.443
40960	0.012	0.043	0.068	0.092	0.115	0.143	0.173	0.203	0.233	0.263	0.293	0.323	0.353	0.383	0.413	0.443
81920	0.012	0.043	0.068	0.092	0.115	0.143	0.173	0.2								

$K_{G\Gamma\Delta}$

$\chi = 0.8$

α_2	0	0.2	0.4	0.6	0.8	1	2	4	6	8	10	20	40	60	80	∞
0	0.270	0.403	0.456	0.485	0.502	0.514	0.543	0.560	0.566	0.570	0.571	0.575	0.577	0.578	0.579	
0.2	0.163	0.290	0.356	0.396	0.423	0.443	0.492	0.524	0.536	0.542	0.546	0.554	0.558	0.560	0.563	
0.4	0.116	0.226	0.292	0.335	0.366	0.389	0.450	0.492	0.509	0.518	0.523	0.535	0.541	0.544	0.547	
0.6	0.094	0.186	0.247	0.290	0.322	0.346	0.415	0.485	0.496	0.502	0.517	0.524	0.527	0.528	0.532	
0.8	0.074	0.157	0.215	0.256	0.288	0.312	0.384	0.439	0.462	0.475	0.483	0.500	0.509	0.512	0.514	
1	0.053	0.137	0.189	0.229	0.260	0.284	0.358	0.417	0.442	0.456	0.465	0.484	0.495	0.500	0.505	
2	0.035	0.082	0.120	0.150	0.175	0.197	0.267	0.332	0.363	0.381	0.392	0.418	0.433	0.440	0.448	
4	0.019	0.046	0.069	0.089	0.106	0.121	0.177	0.235	0.267	0.286	0.299	0.329	0.346	0.352	0.366	
6	0.013	0.032	0.048	0.063	0.076	0.088	0.133	0.183	0.211	0.229	0.241	0.271	0.288	0.298	0.309	
8	0.008	0.020	0.030	0.040	0.049	0.057	0.088	0.127	0.149	0.164	0.174	0.200	0.216	0.222	0.236	
10	0.005	0.016	0.026	0.036	0.048	0.061	0.088	0.133	0.183	0.203	0.230	0.247	0.254	0.257	0.267	
20	0.004	0.006	0.016	0.021	0.026	0.036	0.052	0.088	0.106	0.126	0.141	0.161	0.173	0.181	0.188	
40	0.002	0.003	0.005	0.007	0.008	0.013	0.024	0.039	0.052	0.068	0.075	0.088	0.095	0.102	0.108	
60	0.001	0.001	0.003	0.004	0.005	0.007	0.009	0.017	0.027	0.032	0.039	0.047	0.053	0.059	0.064	
80	0.001	0.001	0.003	0.004	0.005	0.007	0.008	0.013	0.020	0.024	0.030	0.036	0.040	0.043	0.046	
∞	0	0	0	0	0	0	0	0	0	0	0	0	0	0	0	

$K_{G\theta 1}$

$\chi = 0.8$

α_2	0	0.2	0.4	0.6	0.8	1	2	4	6	8	10	20	40	60	80	∞
0	-0.048	-0.126	-0.193	-0.009	0.017	0.022	0.035	0.042	0.045	0.046	0.047	0.047	0.049	0.050	0.051	
0.2	-0.140	-0.039	-0.003	0.009	0.033	0.044	0.071	0.088	0.095	0.100	0.100	0.100	0.104	0.107	0.108	
0.4	-0.121	-0.047	-0.004	0.025	0.045	0.060	0.060	0.060	0.060	0.060	0.060	0.060	0.060	0.060	0.064	
0.6	-0.127	-0.052	-0.005	0.022	0.042	0.062	0.062	0.062	0.062	0.062	0.062	0.062	0.062	0.062	0.066	
0.8	-0.131	-0.056	-0.005	0.032	0.060	0.082	0.082	0.082	0.082	0.082	0.082	0.082	0.082	0.082	0.080	
1	-0.134	-0.059	-0.005	0.035	0.065	0.094	0.094	0.094	0.094	0.094	0.094	0.094	0.094	0.094	0.094	
2	-0.140	-0.065	-0.005	0.032	0.060	0.096	0.096	0.096	0.096	0.096	0.096	0.096	0.096	0.096	0.096	
4	-0.144	-0.070	-0.007	0.035	0.066	0.099	0.099	0.099	0.099	0.099	0.099	0.099	0.099	0.099	0.099	
6	-0.146	-0.072	-0.007	0.032	0.062	0.098	0.098	0.098	0.098	0.098	0.098	0.098	0.098	0.098	0.098	
8	-0.148	-0.074	-0.007	0.031	0.061	0.097	0.097	0.097	0.097	0.097	0.097	0.097	0.097	0.097	0.097	
10	-0.149	-0.075	-0.008	0.031	0.061	0.098	0.098	0.098	0.098	0.098	0.098	0.098	0.098	0.098	0.098	
20	-0.151	-0.076	-0.008	0.030	0.060	0.098	0.098	0.098	0.098	0.098	0.098	0.098	0.098	0.098	0.098	
40	-0.153	-0.077	-0.008	0.030	0.060	0.098	0.098	0.098	0.098	0.098	0.098	0.098	0.098	0.098	0.098	
60	-0.155	-0.078	-0.008	0.030	0.060	0.098	0.098	0.098	0.098	0.098	0.098	0.098	0.098	0.098	0.098	
80	-0.156	-0.079	-0.008	0.030	0.060	0.098	0.098	0.098	0.098	0.098	0.098	0.098	0.098	0.098	0.098	
∞	-0.159	-0.080	-0.008	0.030	0.060	0.098	0.098	0.098	0.098	0.098	0.098	0.098	0.098	0.098	0.098	

$x_1 \backslash x_2$	0	0.2	0.4	0.6	0.8	1	2	4	6	8	10	20	40	60	80	∞
0	0.081	0.119	0.135	0.144	0.150	0.153	0.162	0.168	0.170	0.171	0.172	0.173	0.173	0.173	0.174	
0.2	0.069	0.128	0.157	0.175	0.187	0.195	0.217	0.231	0.237	0.239	0.241	0.245	0.247	0.247	0.248	
0.4	0.066	0.132	0.170	0.195	0.213	0.227	0.262	0.287	0.297	0.302	0.305	0.312	0.315	0.317	0.319	
0.6	0.064	0.135	0.179	0.210	0.233	0.251	0.300	0.337	0.351	0.359	0.364	0.375	0.380	0.382	0.383	
0.8	0.063	0.136	0.186	0.222	0.249	0.271	0.333	0.381	0.401	0.412	0.419	0.433	0.441	0.444	0.445	
1	0.062	0.138	0.191	0.231	0.268	0.287	0.361	0.420	0.446	0.460	0.469	0.488	0.498	0.502	0.504	
2	0.060	0.141	0.205	0.257	0.301	0.337	0.458	0.570	0.623	0.653	0.673	0.718	0.742	0.751	0.756	
4	0.059	0.143	0.216	0.278	0.332	0.380	0.555	0.740	0.837	0.896	0.926	1.03	1.08	1.10	1.11	
6	0.059	0.144	0.220	0.287	0.346	0.400	0.603	0.834	0.961	1.04	1.10	1.23	1.31	1.34	1.36	
8	0.058	0.145	0.222	0.291	0.354	0.411	0.632	0.893	1.04	1.14	1.21	1.37	1.47	1.51	1.53	
10	0.058	0.145	0.223	0.294	0.339	0.448	0.651	0.934	1.10	1.21	1.29	1.48	1.60	1.64	1.66	
20	0.058	0.146	0.226	0.301	0.369	0.433	0.694	1.03	1.24	1.38	1.49	1.75	1.93	1.99	2.03	
40	0.058	0.146	0.228	0.304	0.375	0.442	0.718	1.09	1.33	1.50	1.62	1.94	2.15	2.24	2.28	
60	0.058	0.146	0.228	0.305	0.377	0.444	0.727	1.11	1.36	1.54	1.67	2.01	2.24	2.33	2.38	
80	0.058	0.146	0.229	0.306	0.378	0.446	0.731	1.12	1.38	1.56	1.69	2.05	2.29	2.39	2.44	
∞	0.058	0.146	0.230	0.308	0.381	0.450	0.745	1.16	1.43	1.63	1.78	2.17	2.45	2.56	2.62	

Л и т е р а т у р а

1. С.П.Тимошенко, С.Войновский-Кригер "Пластинки и оболочки", Физматгиз, М., 1963.
2. И.А.Биргер, Б.Ф.Шорр, Р.М.Шнейдерович "Расчет на прочность деталей машин", М., "Машиностроение", 1966.
3. "Прочность, устойчивость, колебания", т.1, М., "Машиностроение", 1968.
4. А.С.Калманов "Расчет пластинок", М., Государственное издательство литературы по строительству, архитектуре и строительным материалам, 1959.

Ответственный за выпуск Г.А.СИРИДОНОВ

Подписано к печати 23.XI-1974 г. № 08633

Усл. 2,4 печ.л., тираж 200 экз. Бесплатно.

Заказ № 104

Отпечатано на ротапринте в ИЯФ СО АН СССР, вт